

1980

H₂O

1980

Aherrick R., et al.

Mol. Phys. and Quantum,
pacereci Chem. into '80's. Workshop,
worekyd Wollongong, Feb 2., 1980.
elijukmpos S.L., S.Q., 1/4. 1 - 1/4. 23.

1 circ. BH; (ii)

H₂O

1981

16 Б158. Неэмпирические исследования колебательной структуры 1s и 1b₁ фотоэлектронных линий H₂O.
Aggen H., Müller J. Ab initio investigations of vibrational excitations in the core 1s and 1b₁ photoelectron bands of H₂O. «J. Electron Spectrosc. and Relat. Phenom.», 1980, 19, № 3, 285—298 (англ.)

С использованием неэмпирич. волновых ф-ций (ВФ) различного качества изучена колебательная структура фотоэлектронных линий 1s и 1b₁ молекулы H₂O. Факторы Франка—Кондона (ФФК) рассчитывались в гармонич. приближении двумя методами. Первый метод (А) основан на раздельном вычислении энергетич. поверхностей основного и фотопионизированного состояний, а второй (Б) — на использовании градиентов энергии ионизированного состояния по нормальным координатам при равновесных геометрич. параметрах для

*кв.иск.
исслед.
Франк
спектр*



X 1980 N 16

нейтр. состояния. Рассматривались только полносимм. кол. молекулы. При расчетах ФФК использовались ВФ, полученные в приближении замороженных орбиталей (I) и рассчитанные ограниченным методом Хартри—Фока для открытых оболочек (II), а также с учетом конфигурац. взаимодействия (III). Найдено, что расчеты ФФК для $1b_1$ фотоэлектронной линии с помощью метода А и ВФ II количественно согласуются с экспериментом. При расчетах методом Б для достижения такого же соответствия необходимо использовать ВФ III. В случае фотоэлектронной линии $O1s$ недостаточное разрешение эксперим. спектра не позволило выявить преимущество какого-либо метода.

О. А. Басченко

Мэл (зар)

1980

6 Д354. Исследование спектра поглощения водяного пара в районе 590 нм. Антипов А. Б., Быков А. Д., Войцеховская О. К., Зуев В. Е., Капитанов В. А., Лопасов В. П., Макушкин Ю. С., Толмачев В. И., Уленников О. Н., Черепанов В. Н. «Докл. АН СССР», 1980, 251, № 1, 67—70.

На лазерном оптико-акустич. спектрометре измерен с высоким разрешением спектр поглощения водяного пара в районе 0,59 мк. Проведено теоретич. исследование особенностей спектра поглощения молекулы H_2O , обусловленного переходами на большое число сильно резонирующих колебательно-вращательных состояний. Идентификация полученного спектра позволила определить колебательно-вращательные энергии возбужденных колебательных состояний (401), (321) и (500), большая часть из которых получена впервые.

Автореферат

Ф 1980 № 6

МэД

1980

4 Б217. О спектрах поглощения паров воды в области 586—597 нм. On the water-vapor absorption spectrum in 586—597 nm. Antipov A. B., Bykov A. D., Kapitanov V. A., Lopasov V. P., Makushkin Yu. S., Tolmachev V. I., Ulenikov O. N., Zuev V. E. «IRC 1980: Int. Radiat. Symp., Fort Collins, Colo, Aug. 11—16, 1980. Vol. Extend. Abstr.» S. I., s. a., 215—216 (англ.)

С помощью лазерного оптоакустич. спектрометра измерены 282 линии поглощения паров воды в области 586—597 нм. Дано описание более, чем 85% наблюдаемых линий. Отмечено, что сложность теор. интерпретации полученных спектров связана с двумя причинами. Во-первых, линии поглощения слабы, так как связаны с возбуждением высоких колебательных состояний. Во-вторых, большое число колебательных состояний сильно усложняют наблюдаемые спектры поглощения. Полученные результаты имеют важное значение при исследовании паров воды в реальной атмосфере.

А. Т. Суходольский

*ж. 1983, 19,
N 4*

H₂O

CO₂

(v_i)

и. к. спектр

(+) *☒*

Ф. 1981. N 2

1980

2 Д506. Точное представление функций пропускания для ИК-полос H₂O и CO₂. An accurate representation of the transmission functions of the H₂O and CO₂ infrared bands. Aoki Tadao. «J. Quant. Spectrosc. and Radiat. Transfer», 1980, 24, № 3, 191—202 (англ.)

Предложен вариант статистич. модели колебательно-вращательных полос ИК-поглощения, допускающий произвольные расстояния между линиями, распределение интенсивности которых описывается двумя экспоненц. слагаемыми с разными показателями, и учитывающий вклад крыльев линий в поглощение для конечного спектрального интервала. Температурная зависимость расчетанных с предложенной моделью ф-ций пропускания определяется температурной зависимостью параметров. Последняя определяется сравнением результатов модельного расчета с расчетом по данным каталога Макклатчи. Выполнены расчеты для полосы 6 мк H₂O и 4,3 мк CO₂ и вращательного спектра H₂O в азоте, приведены параметры модели. Отмечены систематич. расхождения рассчитанных данных с экспериментальными в случае H₂O, для CO₂ расхождения с экспериментом носят случайный характер. Библ. 29.

М. Т.

H₂O

1980

Aufderheide K.H.,
et al.

pacemū Ei,
u.v.n.

149th ACS Nat. Meet.

Houston, Tex., 1980. Abstr.

Pap. Washington, D.C.,
S.A., 76.

(ces. LiH; $\hat{I}\hat{I}$)

Над

1980

8 Б68. К вопросу о выборе частично-дырочных состояний в расчетах энергии ионизации по методам теории возмущений и КВ. Bacskay George B. On the choice of particle/hole states in the calculation of ionization energies by perturbation and CI methods. «Mol. Phys. and Quantum Chem. into '80's. Workshop, Wollongong, Febr., 1980». S. I., s. a., 3.4.1—3.4.19, (англ.)

Проведено сравнение результатов расчетов Пт ионизации молекул H_2O , CN^- , N_2 и атома Ne , выполненных в рамках теории возмущений Рэлея — Шредингера (ТВРШ) и конфигурац. взаимодействия (КВ) и с использованием разных базисов частично-дырочных состояний, к-рые получены из одного и того же базиса АО. В кач-ве частично-дырочных состояний выбирались канонич. МО метода ОХФ для N электронов, т. е. «замороженные» МО, и соотв. N-1 электронные МО, т. е. «релаксированные» МО, к-рые использовались для вычисления полной энергии N-1 электронной системы. С целью исследования сходимости ряда ТВРШ поправ-



(+3)

X. 1982, 19, n 8

ки оценивались вплоть до 10 порядка и результаты сопоставляются с результатами соотв. КВ расчетов. Влияние эффектов несвязанных кластеров на Пт ионизации оценивалось в рамках метода связанных электронных пар. Все результаты сопоставляются с результатами расчетов по методу функций Грина, выполненных в сходных атомных базисах, и также с эксперим. значениями.

В. Г. Закжевский

екий:

H₂O

Lommel 9749

1980

Baeskay G. B.

(3)

Chem. Phys. 1980, 48, n¹,
21-38



Lee Ne i ^{III}

H_2O

Barres A. J. et al. 1980

секунд
в ваку-
уме.

Opt. Pura Appl. 1980,
13 (2), 43 - 44.

($cis.$ HCl ; iii)

H₂O

1980

Barnes A. J., et al

enekip

U.K. noway.

J. Mol. Struct., 1980, 59,
39-53.

see HCl ; ^{III}

H₂O

Lommel 9691

1980

Bartell L.S.

Zygote
aurapell.
Kaledan.

J. Mol. Struct; 1980,
63, 259-71

H₂O

1980

CH₄

Ar₂

*расчет
исследов*

(+2)

X. 1980 N 19

19 Б7. Построение модифицированных виртуальных орбиталей (МВО), которые удобны для расчетов методом конфигурационного взаимодействия. Bauschlicher Charles W., Jr. The construction of modified virtual orbitals (MVO's) which are suited for configuration interaction calculations. «J. Chem. Phys.», 1980, 72, № 2, 880—885 (англ.)

Для получения компактной формы волновой функции метода конфигурац. взаимодействия предложено использовать вместо канонических модифицированные виртуальные орбитали (МВО). Эти орбитали определяются в подпространстве виртуальных орбиталей как собственные функции фокиана, построенного для молек. системы с использованием только МО остова, вычисл. методом ССП или многоконфигурац. методом

ССП. Расчеты молекул H_2O , CH_2 и атома аргона показали, что получаемые МВО обладают рядом преимуществ по сравнению с канонич. MO, а волновые функции представляются в компактной форме, близкой к той, к-рая получается при использовании натуральных орбиталей. Отмечено, что МВО дают удобный и эффективный способ отбора важнейших конфигураций в методе конфигурац. взаимодействия.

В. И. Пупышев

H₂O

October 11290

1980

194: 55243c Studies of intermolecular interactions by matrix isolation vibrational spectroscopy. Self-association of water. Bentwood, R. M.; Barnes, A. J.; Orville-Thomas, W. J. (Dep. Chem. Appl. Chem., Univ. Salford, Salford, Engl. M5 4WT). *J. Mol. Spectrosc.* 1980, 84(2), 391-404 (Eng). The mid- and far-IR spectra of H₂O in Ar and N matrices were reinvestigated. The H₂O mol. rotates in an Ar matrix, but in a N matrix 2 low-frequency bands are attributed to libration of the H₂O monomer about its A and C rotational axes. Combinations of these modes with the stretching and bending modes of the H₂O monomer were obsd. A detailed concn.-dependence study enabled bands to be attributed to dimer, trimer, and tetramer or high multimers. The dimer and trimer were both found to have open chain structures, whereas tetramer or high multimer species appear to be predominantly cyclic. Intermol. modes, obsd. for dimer and trimer in the far-IR spectra, are tentatively assigned.

U.K. Cheung
B. Matysse

C.A. 1981, 94, 18

1980

 $H_2O(m\epsilon)$

9 Д410. Спектр комбинационного рассеяния жидкой воды в области обертонных колебаний связи О—Н. The overtone OH stretching Raman spectrum of liquid water. Belsley K., Sceats Mark G. «Chem. Phys. Lett.», 1980, 70, № 3, 504—507 (англ.)

Изучены поляризационные спектры комб. рас. ($5500—8000 \text{ см}^{-1}$) жидкой H_2O (I) в обертонной области частот вал. кол. связи О—Н при т-ре 298° К и возбуждении лазерными линиями 476,5 и 514,5 нм мощностью 10 вт. Обсуждены теоретич. модели для описания интенсивности обертонных линий I. Проведено сопоставление интенсивности линий комб. рас. I в области частот фундаментальных колебаний и обер-

φ 1980 №

тонной области. Выполнена оценка сечения рассеяния обертонной линии вал. кал. связи О—Н I. Обнаружено, что степень деполяризации обертонной линии вал. кол. связи О—Н составляет 0,45 и практически не меняется в пределах контура этой линии. Отмечено подобие контуров линий комб. рас. и ИК-полос обертонных линий I. Показано, что ангармоничность колебаний в значительной степени определяет распределение интенсивности в компонентах обертонной линии вал. кол. связи О—Н I. Сделан вывод, что теоретич. модель силового поля I должна учитывать механич. и электрич. ангармоничность колебательных движений I. Библ. 16.
И. В. А.

O_H₂

1980

Bewis J. R. et al

pacrem
MOR-1

J. org. chim. acta, 1980,
39, N^o 2, 217-25

Cite B_H₂; III

H₂O

1980

Blaes R. et al.

nb. uex.
par; S,
empyrat.nap.

J. Phys. B, 1980, 13(14),
2693 - 400

out. Cflg-11

H₂O

[Lommel 9238]

1980

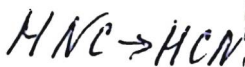
publ. before.
not cited

Binkley J. S., et al.

Ei, J. M. J. Amer. Chem. Soc.
1980, 102(3), 939-47

H_2O

1980



расчет
рабочей
конфиг.

(+)

φ. 1980 № 12

12 Д115. Аналитические производные для коррелированных волновых функций, выраженные через двухчастичную матрицу плотности и приближение унитарной группы; Analytic gradients from correlated wave functions via the two-particle density matrix and the unitary group approach. Brooks Bernard R., Laidig William D., Saxe Paul, Goddard John D., Yamaguchi Yukio, Schaefer Нергу F., III. «J. Chem. Phys.», 1980, 72, № 8, 4652—4653 (англ.).

Рассмотрена возможность построения аналитич. выражения первой производной от энергии по ядерной координате для произвольных волн. ф-ций метода конфигурац. взаимодействия (КВ) с использованием двухчастичной матрицы плотности. Бессpinовая двухчастичная ф-ция плотности может быть получена на основе

приближения, детально описанного ранее (Brooks B. R., Schaefer H. F., «J. Chem. Phys.», 1979, 70, 5092). Предложенная градиентная процедура применена для определения равновесной конфигурац. молекулы H_2O а также расчета переходного состояния КВ про-цесса изомеризации $HNC \rightarrow HCN$. В. В. Россихин



H₂O

1980

Carr B. R., et al

U.K. Crekip

\sum_i

J. Mol. Struct., 1980, 62,
291-295.



See C_2N_2 ; III

H₂O

[ommeca 10758]

1980.

Connerade J. P., et al.

У. гл. Чикаг

науки.

Дубров.

Солнечн.

J. Phys. B: Atom. and
Mol. Phys., 1980,
13, L 705 - L - 710.

1980

H₂O

pacem
monokym

Chipman D.M., et al.,

J. Amer. Chem. Soc.,
1980, 102, N¹⁰, 3377-3383

(all. CH₄; III)

OH_2

Lommel 105 H

1980.

Clark D.T., et al.

Rb. uex.

pacet Chem. Phys., 1980, 52,
Nonnew. nob.
publ. nob. 1-9.

Ce.s. uex

(cav. BeH_2 ; m°)

H_2O

Lomonova 9447] 1980

Cacelli S; et al.

Kb. sleek

pacer.

Dykejul
Yucca

Chem. Phys. Lett., 1980,
70 (3), 569-74.

An improved optical potential.
(e.u. LiH; \bar{n})

1980

H_2O
 D_2O

молекул.
структур.

№ 6 Д473. Ровибронная структура ридберговых и не-
ридберговых состояний молекул H_2O и D_2O . Rovibronic
structure of Rydberg and non-Rydberg states of H_2O
and D_2O . Соппегаде J. P., Baig M. A.,
McGlynn S. P., Garton W. R. S. «J. Phys. B: Atom.
and Mol. Phys.», 1980, 13, № 23, L705—L710 (англ.)

На дифракционном спектрографе с голограммич. ре-
шеткой при разрешении 0,003 Å измерены спектры по-
глощения молекул H_2O и D_2O в области 900—1300 Å.
В качестве источника использовано синхротронное излу-
чение. Разрешена (но не идентифицирована) врача-
тельная структура полос электронных переходов $1b_1 \rightarrow$
 $\rightarrow 3d$, $5s$, $5d$, $6d$, бр. В области 965—969 Å ($1b_1 \rightarrow 5s$)
обнаружена регулярная структура, свидетельствующая
о том, что конфигурация молекулы H_2O в состоянии $5s$
приближается к линейной.

М. Р. Алиев

(+) □



Ф. 1981. № 6

1980

H₂O

Tellamp.
Enkamp

94: 129645j Rovibronic structure of Rydberg and non-Rydberg states of water and water-d₂. Connerude, J. P.; Baig, M. A.; McGlynn, S. P.; Garton, W. R. S. (Phys. Inst., Univ. Bonn, Bonn, Fed. Rep. Ger.). *J. Phys. B* 1980, 13(23), L705-L710, 1 plate (Eng). High-resoln. vacuum-UV absorption spectra of H₂O were detd. The results allow rotational structures of bands below 1200 Å to be resolved giving detailed rovibronic information above and below the first 2 ionization potentials. Rotational structure in the 5s state is analyzed using a group theor. characterization of the vacancy.

C.A. 1981 94 v16

1980

H₂O

✓ 93: 158434z Fourier transform spectra of water excited in the oxhydric flame between 2800 and 9200 cm⁻¹. Camy-Peyret, C.; Flaud, J. M.; Maillard, J. P. (Lab. Phys. Mol., CNRS, 91405 Orsay, Fr.). *Spectres Mol. Simples Lab. Astrophys., Commun. Colloq. Int. Astrophys.*, 21st 1977 (Pub. 1980), 423-33 (Eng). Univ. Liege, Inst. Astrophys.: Cointe-Schlessin, Belg. H/O flame spectra were recorded from 2800 to 9200 cm⁻¹ with a high resoln. Fourier transform spectrometer at a limit of resoln. of ~0.015 cm⁻¹. In these conditions the emission spectrum of hot water vapor was obtained. The most intense bands are ν_3 , $\nu_2 + \nu_3 - \nu_2$ and ν_1 in the 2.7 μm region, $\nu_2 + \nu_3$ and $2\nu_2 + \nu_3 - \nu_2$ in the 1.9 μm region, $\nu_1 + \nu_3$, $2\nu_2 + \nu_3$ and $\nu_1 + \nu_2 + \nu_3 - \nu_2$ in the 1.4 μm region, and finally, $\nu_1 + \nu_2 + \nu_3$ in the 1.1 μm region. The complete anal. of these bands resulted in a set of precise values for the high rotational energy levels belonging to the (000), (010), (100), (001), (011), (021), (101) and (111) vibrational states. A discussion of the assignment problem and of the least squares method for deriving the energy levels from the obsd. transitions is detailed.

C.A. 1980, 93, N 16

H₂O

отмечеc 10095

1980

1 Д387. Полоса ν_2 изотопических молекул H_2^{17}O и H_2^{18}O . La bande ν_2 des espèces isotopiques H_2^{17}O et H_2^{18}O . Samy-Peuget Claude, Flaud Jean-Marie, Papineau Nicole. «C. r. Acad. sci.», 1980, А В 290, № 24, B537—B540 (франц.; рез. англ.)

Выполнен повторный анализ спектра ИК-поглощения паров воды в области 1800—2200 см⁻¹, полученного на фурье-спектрометре с разрешением 0,005 см⁻¹, определены частоты линий полосы ν_2 молекул H_2^{17}O и H_2^{18}O . Выполнено отнесение линий к колебательно-вращательным переходам и определены уровни колебательно-вращательных энергий. С привлечением данных по вращательным спектрам этих молекул и использованием приведенного в работе гамильтониана Уотсона определены колебательные частоты, а также вращательные постоянные и константы центробежной деформации молекул в основном и возбужденном состояниях. Эти константы использованы для расчета полного спектра этих молекул в области полосы ν_2 . Приведен фрагмент рассчитанного спектра для области 1834—1840 см⁻¹. Библ. 14.

М. Т.

9.ii. 1981

φ. 1981 n-1

H₂O

orifice 913

1980

V92: 171824a The $4\nu_2$ band of water (oxygen-16). Camy-Peyret, C.; Flaud, J. M.; Maillard, J. P. (Lab. Phys. Mol. Opt. Atmos., CNRS, 91405 Orsay, Fr.). *J. Phys., Lett. (Orsay, Fr.)* 1980, 41(2), 23-6 (Eng). The 1st observation off the $4\nu_2$ band of H₂¹⁶O is reported. A hot water vapor Fourier transform (5930-6400 cm⁻¹) used for this purpose. About 30 lines of the $4\nu_2$ band were assigned leading to the band center $4\nu_2 = 6134.030 \pm 0.012$ cm⁻¹. Rotational consts. for the (040) vibrational state were detd. and an estn. of the total band intensity is: $X_{\nu}(4\nu_2) = 0.189 \times 10^{-22}$ cm⁻¹/mol.cm⁻² at 296 K.

(∂_i)

CA 1980 92 n20

H₂O

6 Д353. Полоса $4v_2 H_2^{16}O$. The $4v_2$ band of $H_2^{16}O$.
Сату-Реугет С., Флод Ж.-М. Марийяр Ж.-П.
«J. phys. Lett.» (France), 1980, 41, № 2, 23—26 (англ.;
рез. франц.)

Получены спектры ИК-поглощения паров воды при $60^\circ C$ в слое 40 м в области 5930 — 6440 см^{-1} с разрешением $0,07 \text{ см}^{-1}$. Для съемки использован фурье-спектрометр. Приведены частоты колебательно-вращательных линий, определенные с точностью $0,005 \text{ см}^{-1}$, и их отнесение к вращательным переходам в полосе $4v_2 H_2^{16}O$. По частотам рассчитаны частота колебательного перехода и вращательные и центробежные константы молекулы в состоянии $4v_2$. Измерены интенсивности линий, из них определены параметры переходного дипольного момента. С помощью последних найдена полная интенсивность полосы $4v_2$, равная $0,19 \cdot 10^{-22} \text{ см}^{-1}/\text{молекул} \cdot \text{см}^{-2}$ при $296^\circ K$. Библ. 15. М. Т.

9/13

Симончук

Ф 1980 № 6

H₂O

1980

8 Д107. Метод вычисления многоатомных интегралов Франка — Кондона. Применение к фотоэлектронному спектру воды. An approach to polyatomic Franck—Condon integrals. Application to the photoelectron spectrum of water. Caldwell James W., Gordon Mark S. «J. Mol. Spectrosc.», 1980, 84, № 2, 503—519 (англ.)

Предлагается метод вычисления коэф. Франка — Кондона для электронно-колебательных переходов между основным и возбужденным состояниями многоатомной молекулы. Использовано предположение о параллельности норм. координат в основном и возбужденном состояниях, а также гармонич. приближение для колебаний. В качестве примера рассчитана колебательная структура фотоэлектронного спектра молекулы воды.

Е. П. Смирнов

ф. 1981 N 8

H₂O

1980

Douady J., et al

work. Int. J. Quantum Chem.,
vol. 1980, 17, no 2, 211 - 233.

See Chy; III

H_2O

ВР-Х-6254

1980

11 Д90. Расчет молекулы воды методом конфигурационного взаимодействия и интерпретация диаграмм Уолша. A configuration interaction study of the water molecule and interpretation of the Walsh diagram. Ferguson Ian, Pyper Nicholas C. «Theor. chim. acta», 1980, 55, № 4, 283—292 (англ.)

Методами СПП и КВ рассчитана энергия молекулы воды как ф-ция валентного угла θ при фиксированном расстоянии O—H (1,8111 ат. ед.). Расчеты проводились в гауссовом базисе Даннинга; расширенном за счет включения поляризующих ф-ций (типа $[5s4p2d]/[3s1p]$). Матрица КВ включала 4864 симметризованные конфигурации. Рассчитана также зависимость ряда одноэлектронных свойств H_2O от θ . Подтверждена разумность интерпретации ординаты диаграммы Уолша, данной Коулсоном и Дебом (Coulson C. A., Deb D. M. «Int. J. Quant. Chem.», 1971, 5, 411), согласно которой эта величина включает интегралы по орбитальным вкладам в силы Гельмана-Фейнмана, однако для получения минимума на потенц. кривой $E(\theta)$ необходим учет вклада, соответствующего межъядерным отталкиваниям.

В. И. Барановский

расчет
H₂O.

1980
IV-11

H₂O

B9-XI-6254

1980

93: 54452n A configuration interaction study of the water molecule and interpretation of the Walsh diagram. Ferguson, Ian; Pyper, Nicholas C. (Dep. Theor. Chem., Univ. Chem. Lab., Cambridge, Engl. CB2 1EW). *Theor. Chim. Acta* 1980, 55(4), 283-92. (Eng). Large scale ab initio SCF and CI calens. are used to investigate the bond angle dependence of the energy and one-electron properties of the water mol. The SCF wave functions are used to reinvestigate the Hellmann-Feymann force interpretation of Walsh diagrams. The results are much closer to the ideas of Walsh (1953) than those obtained by C. A. Coulson and D. M. Deb, (1971).

Kb. see ex.
paeret.
prazp.
Yasuda

RA 1980 93 n6

H₂O

ВР-Х-6254

1980

21 Б14. Расчет молекулы воды методом конфигурационного взаимодействия и интерпретация диаграмм Уолша. Ferguson I., Рурег С. Н. A configuration interaction study of the water molecule and interpretation of the Walsh diagram. «Theor. chim. acta», 1980, 55, № 4, 283—292 (англ.)

Методом ССПМО с учетом конфигурац. взаимодействия (КВ) исследована угловая зависимость полной энергии и ряда одноэлектронных св-в молекулы воды при фиксированной длине связи О—Н, равной 1,8111 ат. ед. В разложение КВ включены все одно- и двухкратные возбуждения из основных хартри-фоковских орбиталей на все виртуальные. В расчетах использован базисный набор примитивных ГФ [О : 10s6p/
/Н : 5s] с группировкой [О : 5s4p2d/Н : 3s1p], расширенный поляризац. *d*-функциями О и *p*-функциями Н. Такой базис дает значение полной энергии ССП, равное — 76,05886 ат. ед. (хартри-фоковский предел:

*исследоват.
Леонидов
ч. 11.*

ч. 11.

X. 1980 № 21

— 76,067). Приведены данные по угловой зависимости дипольного и квадрупольного момента, градиента электрич. поля на атомах Н и О, второго момента, диамагнитного экранирования и компонент сил Гельмана—Фейнмана. Равновесное значение угла получено равным 104,90°. Путем расчетов методом ССП орбитальных вкладов в силы Гельмана—Фейнмана (с учетом отталкивания ядер), действующих на атомы Н в направлениях, перпендикулярных связям О—Н, проверена правильность модели Коулсона—Деба. Показано, что вклады от МО $2a_1$ и $1b_2$ (с обратным знаком) в этой модели передаются довольно правильно, а вклад от МО $3a_1$ сильно занижен. Поэтому истинная ситуация ближе к точке зрения Уолша, а не Коулсона—Деба.

С. Долин

але

1980

оммск 10833

H₂O

} 6 Д435. Положения и интенсивности линий полос $2v_2$, v_1 и v_3 $H_2^{18}O$. Line positions and intensities for the $2v_2$, v_1 , and v_3 bands of H_2O^{18} . Flaud J.-M., Саму-Реугет С., Тот Р. А. «Сап. Ж. Phys.», 1980, 58, № 12, 1748—1757 (англ.; рез. франц.)

С использованием литературных данных об эксперим. значениях интенсивностей колебательно-вращательных линий полос $2v_2$, v_1 и v_3 $H_2^{18}O$ методом наименьших квадратов определены колебательные матричные элементы дипольного момента молекулы для соответствующих колебательных переходов: ${}^2\mu_x = 0,013 \pm 0,003$, ${}^1\mu_x = 0,020908 \pm 0,0023$, ${}^3\mu_z = 0,096877 \pm 0,00099$ ед. Дебая. Полученные значения применены для расчета частот и интенсивностей 434 линий указанных полос. Н. Ф.

9.1981. N6

$H_2^{18}O$

January 10833

1980

194: 55309d Line positions and intensities for the $2\nu_2$, ν_1 , and ν_3 bands of water (oxygen-18). Flaud, J. M.; Camy-Peyret, C.; Toth, R. A. (Lab. Phys. Mol. Opt. Atmos., CNRS, 91405 Orsay, Fr.). *Can. J. Phys.* 1980, 58(12), 1748-57 (Eng). A very good fit of 434 line intensities of the $2\nu_2$, ν_1 , and ν_3 bands of $H_2^{18}O$ was performed leading to the detn. of the consts. involved in the expansion of the transformed transition moment operators relative to these 3 bands. It was possible to derive the values of the coeffs. of the expansion of the dipole moment with respect to normal coordinates: ${}^{22}\mu_x = 0.013 \pm 0.003$ D, ${}^1\mu_x = 0.096867 \pm 0.00099$ D. Moreover, using the consts. detd. from the fit, the complete spectrum of the $2\nu_2$, ν_1 , and ν_3 bands of $H_2^{18}O$ was computed including line positions, intensities, and assignments.

C.A1981.9718

1980

H₂O

94: 93029v Calculation of vibration-rotation energy levels and intensities for the water molecule. Flaud, J. M.; Camy-Peyret, C. (Lab. Phys. Mol. Opt. Atmos., 91405 Orsay, Fr.). *Atmos. Water Vap., [Proc. Int. Workshop]* 1979 (Pub.

1980), 1-24 (Eng). Edited by Deepak, Adarsh; Wilkerson, Thomas D.; Ruhnke, Lothar H. Academic: New York, N. Y. After the presentation of some actual spectra showing the problems specific to the water mol., the method used to calc. precise vibration-rotation energy levels and wave functions is explained. This method is based on the diagonalization of an Hamiltonian matrix which takes explicitly into account the 3 resonances occurring for H₂O: Fermi, Darling-Dennison and Coriolis resonances. Then, by using the preceding wave functions and suitably chosen transition moment operators, how reliable line intensities are obtained is shown. In this way, centrifugal distortion, ΔK effect, and resonances are fully taken into account. Finally, some examples of application of these results are discussed.

P.A. 1981 Q4 N12

H₂O

21760

1980

pacet
mack.
reomerp.
(γ)

Golebiowski A., et al
Acta phys. pol., 1980,
A57, nr 4, 585-97.

● CaO₂/III

H₂O_n

[Lomnické 1033-6]

1980

greenish,
clear, efferves.

Flidewell chg,

J. Mt. Street; 1980,

67, 35-44

H₂O₂}
H₂O₃}
H₂O₄}

H_2O

PF_3

C_6H_6

расчет

1980

21 Б4. Распределение эффективных зарядов атомов в молекулах, [полученное] из расчетов методом рассеянных волн. Garritz Andoni, Vela Alberto. Effective atomic charge distribution in molecules from multiple scattering calculations. «Chem. Phys. Lett.», 1980, 73, № 1, 84—88 (англ.)

Предложен метод расчета эффективных зарядов атомов в молекуле, зависящих от углового момента l , основанный на использовании самосогласованной электронной плотности молекулы, рассчитанной методом рассеянных волн. Метод основан на представлении электронной плотности каждого из атомов в виде суммы плотности внутри каждой из атомных сфер и нек-рой спадающей ф-ции за пределами сферы. Кроме того к каждому из зарядов атомов добавляется определенная доля заряда, относящегося к межсферной и внешней областям молекулы. Подробно рас-

(+2)

Х. 1980 № 21

смотрен метод определения этих атомных вкладов, зависящих от углового момента l , в полный заряд межсферной и внешней областей. Возможности метода проиллюстрированы на примерах расчетов полных и парц. эффективных зарядов атомов в молекулах C_6H_6 , H_2O и PH_3 . Электронные плотности этих молекул вычислялись методом ССП- X_α -РВ с использованием приближения усеченных сфер и обменного $X_{\alpha\beta}$ -потенциала. Для C_6H_6 парциальные заселенности (s , p_z , p_x , p_y на атомах С и s , p на атомах H) хорошо согласуются с данными аналогичного анализа заселеностей МО по Малликенну в методе ССП МО ЛКАО. Полные эффективные заряды атомов в H_2O и PH_3 также хорошо согласуются с величинами, рассчитанными методом ССП МО ЛКАО.

И. А. Тополь



H_2O

1980

кв.длеск.
расчёй

органическ.
молекул

Gaspar R., et al.

Успехи квантовой хи-
мии и квант. биол.

Тр. междунар. конф., Киев,
1978. 4.2 Киев, 1980, 84-92.



(ав CH_4 ; III).

H_2O

1980

D_2O

8 Б66. О решении ангармонической колебательной задачи с упрощенной потенциальной функцией. Ховрии Г. В., Павлючко А. И., Лозенко Г. Ф. «Изв. Тимирязевск. с.-х. акад.», 19780, № 1, 172—175 (рез. англ.)

Обсуждена возможность решения ангармонич. колебательной задачи с упрощенной потенциальной функцией, представляющей в виде ряда по колебательным координатам. Применяя для решения метод, основанный на квантовомеханической теории возмущений, и вариац. метод на примере молекул H_2O и D_2O , удалось определить ангармонич. силовые коэф. f_{rrr} , f_{rrrr} , f_{aaa} , f_{aaaa} .

Автоперепечат.

X. 1980 № 8

1980

*H₂O**NH₂**Kb. leek,
facets* $(+)$ \boxtimes 

P.A.1981.94.NR0

94: 163036w Optimized Gaussian expansion of atomic orbitals. Ho-Ampawanwong, Sirirat (Fac. Sci., Chulalongkorn Univ., Bangkok, Thailand). *J. Sci. Soc. Thailand* 1980, 6(4), 173-82 (Eng.). Property-optimized Gaussian expansions of Slater-type orbitals (STO) were used to calc. the ground-state energy and 1-electron mol. properties of the water mol. and the NH₂ species. The effect of using simultaneously a weighting factor and pseudonormalization was studied. The weighting factor gives an improvement: in the energy calens., the weighting factor r^{-1} gives satisfactory results, i.e., the energy is improved by ~0.7 a.u. (from -72.78278 to -73.52642 a.u.) compared to the unweighted expansion with STO-2G for the water mol. (at bond angle 105°). The weighting factor r^1 gives an extremely good result in the dipole moment calen. For the water mol. with STO-2G it is 0.5633 a.u.; the unweighted fitting gives 0.4954 a.u. compared to the STO result of 0.5642 a.u.

H₂O

Lommel 11250 1980.

kb. ext.
factor,
mass. cb-ba

Höller R., et al.

Mol. Phys., 1980, 41
(5), 1017-40.



(cav. Lill; 15)

H₂O(leg)

Östmann 9260

1980

Hagen W., et al.

H.K. Gierss
Hohenheim.
Nov. 1980

Z. Mol. Struct.,
1980, 60, 281-86.

(cu. OH; m)

1980

 H_2O

9 Д166. Оптимизация геометрии в неэмпирических ССП расчетах. III. Оптимизация геометрии в приближении плавающих орбиталей с плавающими базисными функциями наружной оболочки. Geometry optimization in ab initio SCF calculations. III. Floating orbital geometry optimization (FOGO) with floating outershell basis functions. Huber Hans Peter. «Theor. chim. acta», 1980, 55, № 2, 117—126 (англ.)

Предложенный ранее (см. Ч. И. Huber H., «Chem. Phys. Lett.», 1979, 62, 95) метод оптимизации геометрии молекул в неэмпирич. ССП расчетах, основанный на приближении плавающих орбиталей и применимый для случая атомов с неполяризованными валентными электронами, обобщен для произвольных систем. Вместо

(+) 10

NH_3 , CH_4 , C_2H_4 ; C_2H_2 , C_2H_4F ; HCO ,

☒

C_2H_3F ; HCN ; ект HF , CO ;

φ

1980 № 9

использованных ранее рассчитываемых аналитически гельман-фейнмановских сил также аналитически вычисляется специальным образом выбранный градиент и оптимизация проводится методом переменной метрики. В рамках этого метода проведена полная оптимизация геометрии воды, аммиака, метана, этана, этилена, ацетилена, фтористого этила, формальдегида, фторэтилена, HCN , HF , CO . Использован базис гауссовских ф-ций $7s3p/4s$, сгруппированный в двухэкспонентный. Рассчитанные длины связей согласуются с эксперим. данными примерно с такой же точностью, что и при стандартной оптимизации геометрии в том же базисе, тогда как для валентных углов результаты существенно лучшие (среднеквадратичное отклонение от эксперим. данных $0,4^\circ$, для обычной оптимизации в том же базисе $-2,3^\circ$, в базисе ОСТ-4031ГФ $-4,7^\circ$). Особенно хорошие результаты получены для дипольных моментов (указанные отклонения $0,08$; $0,42$ и $0,60$ ед. Дебая соответственно).
В. Л. Лебедев

H₂O, D₂O (см. н.) XI-6270 ¹⁹⁸⁰

Ховрич Г.В., Табакова А.Н., Ложенко
Г.Р.

Изв. Института химии геол. с.-х. акад. 1980, VI,
172-175

Определение азотомассовой концентрации
воды влаги с уточненной методикой
измерений динамики.

Рукопись, 1980, 8566 10 (P)

H₂O

1980

Mush N. S.

Mol. Phys. and Quan-
tum Chem. into '80's.
Workshop, Wollongong,
Febr., 1980, S. l., s. a., 1/7.1-
1/7.22. Dis  cuss., 1/7.23-1/7.24.
(cu. LiH; III)

1980

H₂O

92: 997051 Van der Waals volumes from densities and vaporization enthalpies. Jalenti, Roberto; Lopez, Antonio; Azzi, Alberto (Ist. Univ. Nav., Naples, Italy). *Thermochim. Acta* 1980, 35(3), 315-24 (Eng). A new criterion is given for the evaluation of the van der Waals vols. V_w for liq. substances. This criterion derivs. from simple hypotheses of the interdependence between the van der Waals vols., the molar volumes, V^0 , and the vaporization enthalpies, ΔH_v . For all the cases examd. the estd. values of V_w are slightly dependent on temp. and agree with those derived from crystallog. data. Water has a min. in V_w at 328 K in analogy with the behavior of the electron polarizability. For some selected org. substances, an exponential empirical correlation was found between the vaporization entropy (ΔS_v) and $1V_w/(V^0 - V_w)$.

(V) Bangs
Baase.

Wiley 401

C.A. 1980, 92, N/12

H₂O

H₂O+(jacob room. c^o, 8, 1, 44)¹⁹⁸⁰

Jackson C.F.,

6276-XI

J. Chem. Phys., 1980, 72, 49, 4873-4884

An ab initio potential-energy
surface study of several states of the
water cation. (a.u.)

[cm. 10100]

Phys. 1980, 122148

10

(P)

H₂O

1980

spug R.

научн.
изд. Ученые
издательства
СССР
(3)

Theor. chim. acta, 1980,
57, N 2, 107-30.

сущ. H₂ - III

H₂O

1980

Kasuy E., et al.

KB. ex.
paerct.

"Acta phys. Acad.
sci. hung.", 1980, 48,
N^o 2-3, 225-234.

(cces. HF; II)

H₂O

1980

Kapoor E., et al.

Хакане-
пурин
моевидоб.
нб. мез.
пазет.

"Acta phys. Acad.
Sci. hung." 1980
48, № 2-3, 235-241.



(cel. HF; II)

paper rev. ed., 8; (HF , H_2O , NH_3) 1980

Kapuy &, Kozmutza C.,
Daerdel R., XI-6274

Chem. Phys. Lett., 1980, 72, N2, 275-277
(a.m.)

Study of localizability for
some small molecules.

Brugy, 1980, 10D-118 20 (90)

H₂O

1980

96: 5802Sp Ab initio self-consistent reaction field calculations. II. Dipolar molecules. Karelson, M. (Lab. Chem. Kinet. Catal., Tartu State Univ., Tartu, USSR). *Org. React. (Tartu)* 1980, 17(4), 366-83 (Eng). The results are given for ab initio self-consistent reaction field (SCRF) calcns. on the H₂O, HOF, MeOH, HF, MeNO₂, and (CH₃)₂CO mols. Macroscopic electrostatic solvent effects on their wave functions are discussed.

neopen-
pacrem

田
TS

HOF, CH₃OH, HF, CH₃NO₂,
(CH₃)₂CO

C.A. 1982, 96, n18

H₂O

1980

6 Д426. Измерение константы скорости продольной
релаксации для вращательного перехода молекулы
 H_2O методом микроволновой частотной подстройки.

Measurement of longitudinal relaxation rate constant
of rotational transition of H_2O by the microwave fre-
quency-switching method. Kasuga Takashi, Kapo
Satoru S., Shimizu Tadao. «Jap. J. Appl. Phys.»,
1980, 19, № 11, 2031—2036 (англ.)

Методами микроволн. эха и затухания свободной
индукции измерены времена вращательной релаксации
 T_1 (релаксация населенности) и T_2 (релаксация поля-
ризации) для вращательного перехода $6_{16} \leftarrow 5_{23}$ основ-
ного колебательного состояния молекулы воды при раз-
личных давлениях p . Для величин $1/2\pi T_1 p$ и $1/2\pi T_2 p$
получены значения 22,3 и 15,1 МГц/мм рт. ст. соот-
ветственно. Измерения выполнены также во внешнем
электрич. поле и показано, что T_2 не зависит от маг-
нитного квантового числа M .

М. Р. Алиев



9.1981.NG

H_2O

CH_4

LiH

H_2

части
Электроен.
Структурн.

(73) 8

2.1981.15

5 Б43. Орбитальная модель метода валентных схем как средство интерпретации и понимания электронной структуры. 1980

струкутуры. Kirtman B., Palke W. E., Chipman D. M. The valence bond orbital model as an interpretive framework for understanding electronic structure. «Isr. J. Chem.», 1980, 139, № 1—4, 82—87 (англ.)

Рассмотрены возможности метода валентных схем (ВС) как средства интерпретации результатов расчетов электронной структуры молекул. Указано, что оптимизация орбиталей в рамках метода ВС позволяет получить наглядное представление об отдельных локализованных связях и неподеленных парах, а комбинация метода ВС и теории возмущений дает возможность рассмотреть орбитальные вклады в энергию и ряд др. св-в. Орбитальные вклады можно далее связать с изменениями валентного состояния атома и поляризацией связей. Применение такого подхода иллюстрировано результатами ранее проведенных авторами расчетов молекул H_2O , CH_4 , LiH и H_2 . Отмечено, что теория возмущений 2-го порядка в рамках метода ВС дает возможность учсть поправки не менее, чем третьего порядка теории возмущений.

ванной на традиц. методе МО. В. И. Пупышев

К и
з

H₂O

1980

Kosugi N, et al.

KB. max.
paes.

Chem. Phys., 1980, 50,
N3, 373-49.



act. CH₄-II

$H_2^{16}O$

Obs m.s.e.r 11282

1980

$H_2^{17}O$

$H_2^{18}O$

($\mu, \eta,$)

✓ 94: 55244d High resolution pure rotational spectrum of water vapor enriched by water (oxygen-17, and -oxygen-18). Kauppinen, J.; Kyro, E. (Dep. Phys., Univ. Oulu, 90570 Oulu, 57 Finland). *J. Mol. Spectrosc.* 1980, 84(2), 405-23 (Eng). The pure rotational spectrum of a mixt. of $H_2^{16}O$, $H_2^{17}O$ and $H_2^{18}O$ between 50 and 730 cm^{-1} was recorded on a Fourier transform spectrometer. The resoln. achieved was about 0.010 cm^{-1} and the precision of the unblended lines was better than 0.001 cm^{-1} . About 1100 lines were assigned. The measured line positions of $H_2^{17}O$ and $H_2^{18}O$ were compared with the values derived from the rotation and distortion consts. given in the literature.

C.A.1981.94.18

H_2O

данные 11282

1980

15 Б263. Чисто вращательный спектр высокого разрешения паров воды, обогащенных $H_2^{17}O$ и $H_2^{18}O$. Каприрен J., Кугё Е. High resolution pure rotational spectrum of water vapor enriched by $H_2^{17}O$ and $H_2^{18}O$. «J. Mol. Spectrosc.», 1980, 84, № 2, 405—423 (англ.)

С помощью фурье-спектрометра при разрешении $0,01 \text{ см}^{-1}$ и точности определения частоты в случае не-перекрывающихся полос лучше $0,001 \text{ см}^{-1}$ измерен вращательный спектр смеси $H_2^{16}O$, $H_2^{17}O$ и $H_2^{18}O$ в области $50\text{--}730 \text{ см}^{-1}$. Проведено отнесение более 1100 линий. Измеренные положения линий $H_2^{17}O$ и $H_2^{18}O$ со-поставлены с вычисленными теоретически с использо-ванием лит. данных по вращательным постоянным и константам центробежного искажения. С. С. Букалов

Д. М. Н.

д. 1981.115

H₂O

1980

13 Б109. Использование синхротронного излучения в молекулярной спектроскопии. Koch E. E. The use of synchrotron radiation in molecular spectroscopy. Proceedings of the XIVth European Congress on Molecular Spectroscopy, Frankfurt, 3—7 Sept., 1979. «J. Mol. Struct.», 1980, 59, 321—329 (англ.)

спектр возбуждений. Краткий обзор ~~справок~~ синхротронного излучения, эксперим. способов его получения и наиболее важных аспектов его использования в молек. спектроскопии. В кач-ве отдельных примеров рассмотрено применение синхротронного излучения для получения спектров поглощения паров воды в области 20 эв, что позволяет исследовать полный спектр возбуждений валентной оболочки. Отмечены удобства использования синхротронного излучения для изучения фотоэлектронных спектров и спектров флуоресценции таких молекул, как углеводороды и фталоцианиды. Библ. 30.

Б. И. Жилинский

2 1980 N 13

DH₂

1980

Krishnan R., et al

пакет
неприм.
и рабоч.
реализ.

J. Chem. Phys., 1980, 72,
N^o, 650-654.

See like ;)

1980

H_2O

(спектр)

спектр
водяного пара

4, 47.

9 Д449. Чисто вращательный спектр высокого разрешения водяного пара, обогащенного молекулами $H_2^{17}O$ и $H_2^{18}O$. High resolution pure rotational spectrum of water vapor enriched by $H_2^{17}O$ and $H_2^{18}O$. Каиринен J., Кугё Е. «J. Mol. Spectrosc.», 1980, 84, № 2, 405—423 (англ.)

На фурье-спектрометре с разрешением $0,01 \text{ см}^{-1}$ в диапазоне $50—730 \text{ см}^{-1}$ измерен чисто вращательный спектр водяного пара, обогащенного изотопами ^{17}O и ^{18}O . Идентифицировано более 1000 линий вращательных переходов с $J \leq 140$ молекул $H_2^{16}O$, $H_2^{17}O$, $H_2^{18}O$, $HD^{16}O$ в основном колебательном состоянии, а также ряда переходов $H_2^{16}O$ в возбужденном состоянии (010): идентификация выполнена по результатам расчета с использованием значений центробежных постоянных высоких порядков из литературы. М. Р. Алиев

Ф. 198/ N9

Фото № 10115
1980

Над

рассчитано
спектры

З Б70. Возбужденные валентные колебательные состояния. Квантовомеханическая теория. Lawton R. T., Child M. S. Excited stretching vibrations of water: the quantum mechanical picture. «Mol. Phys.», 1980, 40, № 4, 773—792 (англ.)

Рассчитаны возбужденные валентные колебательные состояния молекулы воды с квантовыми числами $v_1 + v_2 = v = 0—8$. Потенциальная функция, зависящая от двух переменных, получена из потенциала Сорби—Маррела при фиксированном значении валентного угла и представляет собой сумму произведений полиномов на экспоненту. Для нахождения собственных функций и собственных значений использован вариационный метод с пробными функциями, являющимися собственными функциями независимых осцилляторов Морзе. По най-

денным волновым функциям рассчитано распределение интенсивности в спектрах поглощения. Б. И. Жилинский

Х. 1981 № 3

H₂O

Ломакин 10440 |

1980

Diegner C.-H.

Кб. нех.

пакет,

Фундук

Чиода

Theor. chim. acta,
1980, 57, 219-231.

1980

H₂O

ночной
рассвет.

(cell H₂O; III)

Lee W. S., et al.,
J. Am. Chem. Soc. 1980,
102 (16), 5184-7.

H_2O

D_2O

T_2O

$H, D,$

1980

18 Б101. Кориолисовы постоянные и постоянные центробежного искажения для некоторых нелинейных симметричных молекул XY_2 . Mohan By S. Coriolis coupling constants and centrifugal distortion constants of some XY_2 bent symmetrical molecules. «Acta phys. pol.», 1980, A57, № 3, 441—445 (англ.)

По известным молек. постоянным проведен расчет ζ -постоянных кориолисова взаимодействия и τ -постоянных центробежного искажения для трехатомных нелинейных молекул H_2O , D_2O , T_2O , H_2S , D_2S , H_2Se , D_2Se , $^{14}NO_2$, $^{15}NO_2$, SO_2 , ClO_2 , O_3 , SeO_2 , F_2O , Cl_2O , SCl_2 . Найденные величины хорошо согласуются с эксперим. данными.

Б. И. Жилинский

(+11)

☒

Х 1980 №18

H_2O

1980

CH_4

і Д55. Общее изотопическое правило сумм для частот колебаний, интенсивности полос и постоянных кориолисова взаимодействия. A general isotopic sum-rule for frequencies, band intensities, and coriolis coupling constants. Мohan N., Müller A. «J. Mol. Spectrosc.», 1980, 80, № 2, 455—458 (англ.)

Получены общие изотопич. соотношения для частот колебаний Λ

$$\sum_{\alpha}^N \left(m_{\alpha}^*/\Delta m_{\alpha} \right) Sp(\Delta \Lambda_{\alpha}) = -Sp(\Lambda),$$

интенсивности I колебательных (ИК и КР) полос

$$\sum_{\alpha}^N \left(m_{\alpha}^*/\Delta m_{\alpha} \right) \sum_k \Delta I_{k(\alpha)} = - \sum_k I_k$$

⊕ ⊖

Ф. 1981 н 1

и постоянных кориолисова взаимодействия ζ^x

$$\sum_{\alpha}^N \left(m_{\alpha}^* / \Delta m_{\alpha} \right) \text{Sp} [\Delta (\zeta^x \Lambda_{\alpha})] = - \text{Sp} (\zeta^x \Lambda),$$

где m_{α} — масса α -го атома, $\Delta m_{\alpha} = m_{\alpha}^* - m_{\alpha}$, а знак * относится к изотопу. Справедливость этих соотношений иллюстрирована на примерах молекул H_2O , CH_4 и их изотопозамещенных.

М. Р. Алиев

H₂O

1980

№ 3 Д159. Исследование методом самосогласованного поля в многоконфигурационном приближении важности трех- и четырехкратно-возбужденных электронных конфигураций для молекулы воды. Multiconfiguration self-consistent-field study of the importance of triply and quadruply excited electronic configurations in the water molecule. Laidig William D., Saxe Paul, Schaefer Непгу F. III. «J. Chem. Phys.», 1980, 73, № 4, 1765—1769 (англ.).

Неэмпирическим методом ССП МО ЛКАО, а также в многоконфигурац. (МК) приближении и с учетом взаимодействия одно-, двух-, трех- и четырехкратновозбужденных конфигураций (ОК, ДК, ТК и ЧК соответственно) исследовано электронное строение H₂O. Использована равновесная геометрия, полученная методом КВ с учетом ОК и ДК (длина связи и угол 0,976 Å и 110,6°), и базис гауссовых ф-ций 9s5p/4s,

Ф. 1981 № 3

струпированый в двухэкспонентный. Обнаружено, что в МК ССП учет ОК дает лишь 52,3% корреляционной энергии, полученной с учетом ОК и ДК. В обычном КВ учет ТК дает лишь 0,8% корреляционной энергии, тогда как переход к МК ССП повышает этот вклад в ~5 раз, а учет только ОК дает лишь 3%. Различия в энергиях для КВ и МК ССП при учете только ОК и ДК или всех конфигураций незначительны. Учет ТК и ЧК приводит к примерно одинаковым поправкам.

В. Л. Лебедев

С.
водн
Чаг

H₂O

1980

Mori Kazuhide, et al.

Waseda Daigaku Riko-

gaku Kenkyusho Hokoku

1980, (93), 60 - 65.

жирные
кожицег.
кб. нееx.
пачки.

(ав. LiH; II).

H₂O

Lommel 1954 |

1980

Murrell J. N

номина.

это 200

обзор

Israel J. Chem., 1980,

19, 283-289

H₂O

1980

M. L. Crisp

193: 176322r Calculated microwave and infrared spectra of atmospheric and interstellar asymmetric molecules from microwave laboratory measurements. Monnanteuil, N.; Duterage, B.; Depannemaeker, J. C. (Lab. Spectrosc. Hertzienne, Univ. Lille I, 59650 Villeneuve d'Ascq, Fr.). *Spectres Mol. Simples Lab. Astrophys., Commun. Colloq. Int. Astrophys., 21st 1977* (Pub. 1980), 469-79 (Eng). Univ. Liege, Inst. Astrophys.: Cointe-Slessin, Belg. The microwave spectra of the following light asym. tops were studied in the range 10-500 GHz: H₂O, SO₂, O₃, H₂CO, HCO₂H and most of their isotopic species. The pure rotational spectra of the mols. in their ground vibrational states and in the lower energy excited states were obtained. Using the Watson's Hamiltonian, a least-square process yields mol. consts. and their statistical errors. Some examples of these calcd. IR spectra for SO₂ and O₃ are presented and compared with obsd. spectra. The calcns. of microwave and IR spectra of atm. and interstellar asym. mols. are given.

(4) 12

C. A. 1980. 93 v 78

$H_2O(ac)$

В9-Х1-6294

1980

12 Д364. Спектр УФ-поглощения жидкой воды. The ultraviolet absorption spectrum of liquid water. Quic-kenden T. I., Irvin J. A. «J. Chem. Phys.», 1980, 72, № 8, 4416—4428 (англ.)

стенс
УФ. поглощ.

При комнатной т-ре исследованы спектры пропускания воды, подвергнутой многократной очистке. Измерения проведены в области 196—320 нм в кювете с длиной оптич. пути 9 см. Установлено, что коэф. поглощения в исследованной области монотонно увеличивается от 10^{-4} см при 320 нм до $1,26 \times 10^{-2}$ см⁻¹ при 196 нм. Полученные значения примерно на 2 порядка ниже результатов других измерений и хорошо согласуются с величинами, предсказываемыми теорией. Наблюдаемая спектральная зависимость ослабления света может быть отнесена к суперпозиции частотной зависимости сечения

Ф. 1980. N 12

релеевского рассеяния с крылом полосы поглощения
 ${}^1A_1 - {}^1B_1$, расположенной в вакуумной УФ-области.
Высказано предположение, что более высокие значения
коэф. поглощения, полученные в предшествующих ра-
ботах, обусловлены примесью кислорода в исследован-
ных образцах. Отмечено, что полученные спектры не
содержат полос поглощения с максимумами 196 и
275 нм, отнесенных ранее к собств. поглощению моле-
кул воды. Библ. 78.

С. П.

H_2O (ж)

В9-К-6297

1980

23 Б147. Ультрафиолетовый спектр поглощения жидкой воды. Quickenden T. I., Irvin J. A. The ultraviolet absorption spectrum of liquid water. «J. Chem. Phys.», 1980, 72, № 8, 4416—4428 (англ.)

С использованием дифференциальной спектрофотометрии измерены бугеровские коэф. поглощения a , m^{-1} , в интервале 196—320 нм с шагом 1 нм, тщательно очищенной жидк. воды при 297 К. Подробно описаны очистка воды, включающая 4-кратную перегонку после прохождения через ионнообменники, нагревание паров воды до 870 К в присутствии кислорода для удаления орг. примесей и послед. обезгаживание, калибровка шкал фотометрической и волновых чисел, учет потерь на отражение на окнах кюветы. Чистота воды контролировалась кондуктометрически и тензиметрически, ее проводимость составляла $4,5—4,9 \cdot 10^{-5} \text{ ом}^{-1} \cdot \text{м}^{-1}$, а поверхн. напряжение $7,11—7,14 \cdot 10^{-2} \text{ Н/м}$ для образцов разной чистоты. Измеренные значения a убывали мо-

У. ф. спектр
чистоты

Х. 1980 № 23

нотонно от $1,26 \pm 0,03 \text{ м}^{-1}$ при 196 нм до $0,0100 \pm 0,0006 \text{ м}^{-1}$ при 320 нм и были на два порядка меньше известных в лит-ре величин, однако находились в лучшем согласии с теорией и с данными по поглощению паров сверхчистой воды в вакуумной УФ-области. Сделан вывод, что расхождение с лит. данными связано с наличием кислорода и устойчивых примесей в воде в пред. экспериментах. Отмечавшийся в работе (Largul H. и др. «C. R. Acad. Sci.» Paris, 1965, 261, 4701) небольшой пик поглощения при 275 нм, связанный с наличием низколежащего 3B_1 -состояния молекулы воды, не был обнаружен. Кривая поглощения воды в области 200—300 нм лишь ненамного превосходила суммарную величину релеевского рассеяния и длинноволнового крыла поглощения известного перехода $X^1A_1 \rightarrow {}^1B_1$ в молекуле воды.

А. Н. Курский

1980

H₂O

Querry M., et al.,

Di

J. Chem. Phys., 1980, 72,
N 4, 2495-2499.

(all HNO₃; II)

H₂O

1980

Ohwada Ken.

pacrem J. Chem. Phys., 1980, 72,
cme. N1, 1-6.
noem.



cme Cl₂; $\tilde{\nu}$

H₂O

1980

(3)

1 Д76. Схемы с использованием функционала перехода для энергий переходов молекул. Transition functional schemes for molecular transition energies. Pickup Barry Tennant, Sabo David Waggen, Firsht David. «Theor. chim. acta», 1980, 56, № 3, 165—173 (англ.)

Предложены 2 функционала перехода для расчета энергий переходов молекул, представляющие собой усредненные функционалы для основного и ионизованного состояния молекулы. По такой схеме рассчитаны первый и второй потенциалы ионизации H₂O, которые согласуются с эксперим. данными с примерно такой же точностью, что и при расчетах методом ΔССП (как разности энергий основного и ионизированного состояний). Отмечены затруднения сходимости схемы ССП в ряде случаев и обсуждены пути преодоления этого затруднения.

В. Л.

Ф. 1980/2

H₂O

§ 16 Б229. Колебательные спектры молекул H₂O, изолированных во льду D₂O Ic. Ritz haupt Gagу, Collier William B., Thornton Cynthia, Devlin J. Paulo Decoupled vibrational spectra for D₂O г H₂O $\nu_1=2367$, $\nu_2=1230$, $\nu_3=2444$ см⁻¹. Рассчи-
294—298 (англ.)

Повторно измерены ИК-спектры молекул H₂O, изолированных во льду D₂O Ic, с использованием вакуумного фурье-спектрометра, а также спектры КР H₂O в тонких пленках D₂O и, соотв., D₂O в H₂O методом внутреннего отражения с интерференц. усилением рассеяния. Частоты фундаментальных колебаний молекул H₂O и D₂O составляют $\nu_1=3200$, $\nu_2=1732$ и $\nu_3=3270$ см⁻¹, причем расстояние между ν_1 и ν_3 оказывается слегка завышенным за счет резонанса Ферми $2\nu_2 \leftrightarrow \nu_1$. Для молекул D₂O в H₂O $\nu_1=2367$, $\nu_2=1230$, $\nu_3=2444$ см⁻¹. Рассчитаны колебательные частоты изолированных молекул H₂O с использованием трех различных наборов силовых постоянных.

Б. В. Рассадин

Х 1980 № 16

H₂O

[Lommeca 1975] 1980

Rossikhin V.V. et al.

paeter
nobeykh,
nom. zagrue. 1980,

Ynt. J. Quant. Chem.;
17, 327-38

Determination of Potential -
Energy Surface of Molecules..

H₂O

1980

ROMHUS.
Robert M.

95: 157000j Possible determination of the potential energy surface of polyatomic molecules. Rossikhin, V. V.; Voronkov, E. O.; Kruglyak, Yu. A. (Inst. Inzh. Zheleznodorozhn. Transp. im. Kalinina, Dnepropetrovsk, USSR). *Usp. Kvantovoi Khim. Kvantovoi Biol., Tr. Mezhdunar. Konf.* 1980, 1, 378-89 (Russ). Edited by Petrov, E. G.; Loewdin, Per Olov; Zener, M. Izd. Naukova Dumka: Kiev, USSR. An anal. expression was derived for the potential energy surface of polyat. mols. As an example, the potential energy surface for H₂O as a function of internuclear distances was obtained and, based on it, the harmonic force consts. of H₂O were calcd.

C.A. 1981, 95, N/8.

H₂O

1980

Sakai, Hajime.

creep

Gov. Rep. Announce. Index
(U.S.) 1981, 81(15) 3025.

(e.g. Cl₂; III)

H₂O

1980

Shimizu T., et al

и.в.спектр.

Appl. Phys., 1980, 21, N1,
29-34.



сост NH₃ i $\overset{\text{III}}{\equiv}$

H_2O^-

1980

Sizer-Dreyfus illriel.

pacréen

Thèse doct. sci. Univ.

Romeus.

Paris-Sud, 1980, 122 p.;
ill.

Heptuer

(cell. CO_2^- ; II)

H₂O

Commissa 10384 | 1980.

Stoll H., et al.

Kh. ref.
factors

Theor. chim. acta,
1980, 57, 169-178.

Расчет мн, cur. n (H₂Se, H₂S, NO₂, SO₂
F₂O(ν_i) H₂O, F₂O) XI-6265 7980

Скотников А. В., Гусевавина Е. В., Чепц-
ков А. А.,

изд. хим. газ. 1980, 23, N 5, 11-14

Расчет первого квартичного нейтрона
используя загружда числовых методов
чредующихся предсказаний нелинейных решений.

Рига, 1980, 102165 10 ⑨

H₂O

ommunicator

1980

paeret
noefaz,
 μ ; ν_i Spierkemann H.
 et al.

Theor. chim. acta.
1980, 54, 301-323.

H_2O (пар)

1980

12 Д415. Измерение длинноволнового ИК-поглощения в промежутках между линиями водяного пара с помощью лазера с оптической накачкой. Measurements of far-infrared water vapor absorption between lines with an optically pumped laser. Simpson O. A., Bohlander R. A., Gallagher J. J., Perkowitz S. «J. Phys. Chem.», 1980, № 84, № 14, 1753—1755 (англ.)

И. К. скр
поглощени

Измерено ИК-поглощение в промежутках между вращательными линиями паров воды при т-ре 25° С в области 8—104 см⁻¹ с помощью дискретно перестраиваемого лазера с оптич. накачкой. Для измеренных частот коэф. поглощения рассчитан как сумма вкладов отдельных линий, каждая из которых описана контуром Гросса. Для всех случаев наблюденное поглощение превышает рассчитанное, расхождение рассчитанных и измеренных коэф. растет квадратично с давлением плотностью паров. В НЧ-части изученной области отклонения превышают замеченные ранее. Библ. 20. М. Т.

ф. 1980 № 12

H₂D

1980

Seger G., et al

Rb.wex.
pacet Int. J. Quantum Chem.,
1980, 17, n5, 955-68.

● (see H₂) III

H₂O

кассир

(Ei)

(44)

*Ф. 1980
н 11*

11 Д105. Ридберговские $S \leftarrow S$ и $T \leftarrow T$ переходы в воде, аммиаке, формальдегиде и *n*-алканах. Molecular Rydberg $S \leftarrow S$ and $T \leftarrow S$ transitions in water, ammonia, formaldehyde and *n*-alkanes. Singh A. N., Prasad R. S. «Chem. Phys.», 1980, 49, № 2, 267—277 (англ.)

Предложена модификация метода ССП МО ЛКАО в валентном приближении ЧПДП с учетом конфигурац. взаимодействия для расчета ридберговских синглет-синглетных и синглет-триплетных переходов. Модификация заключается во включении в базис возбужденных АО и введении масштабного множителя перед интегралами перекрывания π -типа (0,585 для валентных и 0,595 для остальных взаимодействий). Подробно описаны эмпирич. схемы оценки интегралов. Рассчитаны потенциалы ионизации, распределения электронной плотности и энергии переходов для H_2O , NH_3 , H_2CO , CH_4 , C_2H_6 . Получение энергии переходов и величины синглет-триплетных разрешений в отличие от данных других полуэмпирич. методов хорошо согласуются с эксперим. данными. Для H_2CO получены лишь качественно правильные энергии синглетных и триплетных состояний, однако синглет-триплетное расщепление передается удовлетворительно.

В. Л. Лебедев

H₂O

[Commeca 10544] 1980.

Slanina Z.

Moskva,

empfyr., Z. Chem. Phys., 1980,

freezest

guasspyras. 73 (5), 2519 - 21.

Ji

H_2O

NH_3

"gj."

Рв. исх.
расчет-

■

х. 1981. N/2

отмече 11206

1980

12 Б19. О применении минимальных валентных базисных наборов в сочетании с безостовным эффективным потенциалом Хартри — Фока. Topiol Sid, Osman Roman. On the use of minimal valence basis sets with the coreless Hartree—Fock effective potential. «J. Chem. Phys.», 1980, 73, № 10, 5191—5196 (англ.)

Исследовано использование миним. валентных наборов гауссовых орбиталей при расчетах молекул методом Хартри — Фока в приближении эффективного потенциала. Эффективный потенциал остова выбран в виде разложения по сферич. гармоникам с подбором параметров радиальных ф-ций (заданным разложением по гауссовым ф-циям) так, чтобы обеспечить гладкое поведение псевдоорбиталей внутри остова и воспроизвести правильный вид орбиталей в валентной области атома. Рассмотрены три варианта базисных наборов: базис (1), подобранный по расчетам атома с данным эффективным потенциалом; базис, полученный

аппроксимацией каждой из $2s$ - и $2p$ -псевдоорбиталей 4 гаусс-ич ф-циями; базис, построенный удалением из станд. набора орбиталей ОСТ-ЗГФ остова с переоптимизацией экспонент. Расчеты проведены для 10 распространенных молекул из атомов второго периода (H_2O , NH_3 и др.). Сделано заключение, что к рассчитываемым подобным способом структурным параметрам следует относиться с осторожностью (напр., молекула NH_3 получается плоской). Среди погрешности в длинах связей оцениваются в 0,15 и 0,04 Å для связей A—B и A—H соотв. Тем не менее, потенциалы ионизации и дипольные моменты молекул воспроизводятся хорошо. Наилучшим признан базис типа 1, худшим — валентный вариант ОСТ-ЗГФ. А. В. Немухин



H₂O

1980

See John S.

J. Chem. Phys. 1980, 73, 116,
3015-7.

ib. aux.
part.

aux. CH₄-III

H₂O

Lommel 10458

1980.

bogosoff.
clifb,
coffman.
de; Re;
kb, ~~yes~~,
~~prerer~~

Tse Y.-C., et al.

Chem. Phys. Lett.;
1980, 75 (2), 350-56.

H₂O

спектр поглощ.

ф. 1981 № 3

1980

3 Д588. Видимый спектр поглощения воды. The visible absorption spectrum of water. Tsubomura Hiroshi, Yamamoto Naoto, Matsuo Nobutaka, Okada Yoshio. «Proc. Jap. Acad.», 1980, B56, № 7, 403—407 (англ.)

Спектр поглощения жидкой воды в видимой и близкой ИК-области исследован с рекордной точностью с использованием специально сконструированного спектрофотометра. В результате целенаправленных изменений условий эксперимента показано, что наблюдаемое поглощение обусловлено самой водой, а не присутствующими в ней примесями. Поглощение H_2O быстро падает с уменьшением длины волны; однако слабое поглощение H_2O зарегистрировано даже при $\lambda=500$ нм. Полученные результаты хорошо согласуются с немногочисленными данными других авторов. Наблюдаемое поглощение приписано обертонам ($0-v$) валентного колебания OH ($v_{\text{OH}}=v$ ($3620-72v$) см^{-1}) и комбинационным переходам $v'=v_{\text{OH}}$ ($0-v$) + d ($d \approx 1510 \text{ см}^{-1}$). Сделано заключение о том, что цвет морской (речной, озерной и других больших масс) воды обусловлен в основном ее собств. поглощением. Библ. 14.

В. С. Иванов

H₂O

1980

93: 212709y The visible absorption spectrum of water.
Tsubomura, Hiroshi; Yamamoto, Naoto; Matsuo, Nobutaka;
Okada, Yoshio (Fac. Eng. Sci., Osaka Univ., Osaka, Japan 560).
Proc. Jpn. Acad., Ser. B 1980, 56(7), 403-7 (Eng). The measurement of the visible absorption spectrum of pure water showed a very weak absorption, increasing from 500 nm to the longer wavelength region; the results showed that water is not a colorless liq., but a very weakly colored liq. The color of sea water, as well as water in any large mass (lakes, rivers, reservoirs) is mostly caused by the absorption due to its vibrational higher overtones perceptible to the eye by daylight reflected mostly from the bottom. Although the scattering effect might be contributing to some extent, it is highly probable that the intrinsic absorption of water is the dominant factor.

D.S. extract
not classed.

C.A. 1980. 93 n 22

paper reper. comp., etc., n.n. (N_2 , C_2 , CO ,
 CO_2 , H_2O , SO_2 , HCN , C_2H_2) XI-6309

Pavouktsoglou A.N., Huzinaga S.,
J. Chem. Phys., 1980, 72, v2, 1385-1391/amu,
A new minimal Gaussian basis set
for molecular calculations.

RuPhy, 1980, 108120 10 (P)

1980

H₂O

исслед
воды

) 12 Б88. Влияние растворителя на структуру и электронные свойства простых молекул. Исследование методом самосогласованного поля реакции (ССПР) в приближении МЧПДП/3 теории MO. Tapia O., Silvi B. Solvent effects on the structure and the electronic properties of simple molecules. A MINDO/3—SCRF—MO study. «J. Phys. Chem.», 1980, 84, № 20, 2646—2652 (англ.)

Предложенный ранее одним из авторов («Theor. Chim. «Acta», 1978, 47, 157) метод ССПР применен для

(+8)

☒

окси

2

2.1981.№12

исследования молекул в полярной среде. Описаны новые черты метода, обсуждена процедура оптимизации геометрии. В рамках приближения МЧПДП/3 проведены расчеты молекул H_2O , CH_3OH , $\text{C}_2\text{H}_5\text{OH}$, CH_3F , CH_3CN , H_2CO , CH_3CHO , $(\text{CH}_3)_2\text{CO}$ и HCONH_2 при значениях силы поля р-ции F от 0 до 2 В/А. Найдено, что длины связей $\text{C}=\text{O}$, $\text{C}-\text{O}$ и $\text{O}-\text{H}$ увеличиваются с ростом F (приводя к увеличению дипольного момента), причем для карбонильной группы эта зависимость практически линейна. Анализ эффективных зарядов показал, что их изменения также направлены в сторону увеличения дипольного момента. Индексы Вайберга изменяются в согласии с длинами связей. Из расчетов тензора электронной поляризуемости следует, что $\alpha_{\text{ср}}$ и α_{\parallel} уменьшаются с ростом F , а поведение анизотропии поляризуемости зависит от конкретной молекулы. Вычислены силовые постоянные для связей $\text{C}=\text{O}$, $\text{C}-\text{O}$ и $\text{O}-\text{H}$. В случае $\text{C}=\text{O}$ и $\text{C}-\text{O}$ силовые постоянные уменьшаются с ростом F (в области малых F зависимость линейная). Обсуждена зависимость от F пр-ных дипольного момента. Проведено сопоставление с выводами др. моделей влияния р-рителя на электронные характеристики молекул.

М. М. Гофман

1980



частей
заряженой Е,
равнов.-заряж.
парацер.

(+2) □

φ. 1981. N6

6 Д98. Метод одноцентрового разложения с модельными потенциалами. Формулировка и тестовые расчеты. One-center expansion method with model potentials. I. Formulation and test calculations. Tindimurzaeva A. R. «Int. J. Quantum Chem.», 1980, 18, № 6, 1415—1429 (англ.; рез. франц., нем.)

Метод одноцентрового разложения скомбинирован с приближением модельного потенциала, аппроксимирующего оставные МО. Такая модификация метода одноцентрового приближения, по замыслу авторов, позволит применять его для расчетов волн. ф-ций молекул с тяжелыми нецентральными ядрами, т. к. валентные МО достаточно хорошо аппроксимируются одноцентровыми разложениями. Проведены тестовые расчеты полных энергий, равновесных геометрич. параметров и волн. ф-ций молекул H_2O , H_2S и N_2 в основных электронных состояниях. Базис состоял из слэтеровских АО, центрированных на тяжелом ядре. В качестве модель-

ного потенциала выбирался потенциал Бонификация — Хузинаги. Полученные результаты сравнены с результатами расчетов этих же характеристик молекул в канонич. одноцентровом приближении и с результатами расчетов ССП в широких гауссовых базисах. Результаты свидетельствуют, что предложенная модификация метода одноцентрового разложения может успешно конкурировать с другими квантовохимич. методами при изучении молекул.

А. И. Дементьев



1980

 H_2O NH_3 HF Ne

расчет энергии
корреляционной
оболочки

ф. 1981
н-т

(73)

1 Д92. Расчеты корреляционной энергии десяти-электронных систем в четвертом порядке теории возмущений Релея — Шредингера с использованием диаграммной техники. The fourth order diagrammatic MB-RSPT calculations of the correlation energy of ten electron systems. Urban Miroslav, Hubač Ivan, Kellő Vladimír, Noga Jozef. «J. Chem. Phys.», 1980, 72, № 5, 3378—3385 (англ.)

В четвертом порядке многочастичной теории возмущений (МЧТВ) выполнены расчеты энергии корреляции для валентных оболочек H_2O , NH_3 и HF , а также Ne . Приведены и проанализированы все необходимые диаграммы, соответствующие двух- и четырехкратным возбуждениям. Расчеты проводились в гауссовых базисах преимущественно двойного экспоненц. типа с добавлением поляризующих ф-ций. Результаты расчета для H_2O , выполненные в двойном экспоненц. базисе методами МЧТВ и КВ хорошо согласуются между собой. Вклад четырехкратных возбуждений увеличивается в ряду Ne — HF — H_2O и слегка уменьшается у NH_3 ; этот вклад составляет $\leq 1,7\%$ от вклада двухкратно возбужденных конфигураций.

В. И. Барановский

H₂O

1980

2 Д86. Влияние полноты базисного набора на относительный вклад трех и четырехкратно возбужденных конфигураций в расчетах энергии корреляции. Effect of basis-set completeness on the relative importance of triply and quadruply excited configurations in correlation energy calculations. Wilson Stephen, Guest Martin F. «Chem. Phys. Lett.», 1980, 73, № 3, 607—611 (англ.)

*расчет
энергии
корреляции*

На примере расчетов молекулы воды методом много-конфигурационной теории возмущений с различными базисными наборами (гауссовыми и слэтеровскими, число ф-ций M менялось от 14 до 40) изучено влияние базиса на относит. вклад R трехкратно возбужденных конфигураций в энергию корреляции по сравнению с вкладом четырехкратно возбужденных конфигураций. Предварительно показано, что расчеты в четвертом порядке теории возмущений дают правильную оценку этих вкладов. При увеличении M величина R возрастает от 0,2 до 0,7.

В. И. Барановский

9.1981.12

annulus 9526

1980

H₂O

Kb. ext.
factors
nominal,
nob. cts.

92: 99315d A theoretical study of the potential energy surface for atomic oxygen (3P) + diatomic hydrogen. Welch, Stephen P.; Dunning, Thomas H., Jr.; Raffenetti, Richard C.; Bobrowicz, Frank W. (Chem. Div., Argonne Natl. Lab., Argonne, IL 60439 USA). *J. Chem. Phys.* 1980, 72(1), 406-15 (Eng). Barrier heights and transition state geometries were calcd. for the reaction O(3P) + H₂ → OH + H using large scale POL CI (POL = polarization) wave functions (based on GVB [generalized valence bond] wave functions using basis sets of up to triple zeta valence plus double zeta polarization quality). A detailed study was made of the effects on the calcd. barrier height and saddle point geometry of (i) basis set, and (ii) choice of orbitals, and (iii) choice of ref. configurations. Calcd. using a [4s3p2d/3s2p] basis lead to a collinear saddle point with $r_{\text{int}} = 0.92 \text{ \AA}$ and $r_{\text{on}} = 1.23 \text{ \AA}$ with a corresponding barrier height of 12.5 kcal/mol. There are two surfaces which connect the reactants with the products: one of $^3A'$ symmetry and one of 3A symmetry (these correspond to the two degenerate components of the $^3\Pi$ state in collinear geometries). In the transition state region, the $^3A'$ surface has a steeper bending curve than the 3A surface leading to significantly different reaction rates on the two surfaces.

C.A. 1980, 92, N12

$O + H_2$

Отмисл 9911

1980

12 Д263. Теоретическое изучение реакции $O + H_2$.
Theoretical studies of the $O + H_2$ reaction. Walsh Stephen P., Wagner Albert F., Dunning Thom H., Jr., Schatz George C. «J. Chem. Phys.», 1980, 72, № 4, 2894—2896 (англ.)

Приведены результаты неэмпирич. расчетов поверхности потенц. энергии и скоростей реакции $O(^3P) + H_2(X^1\Sigma_g^+) \rightarrow OH(X^2\Pi) + H(^2S)$. Поверхности потенц. энергии комплекса OH₂ вычислялись с использованием метода поляризационного конфигурационного взаимодействия (POL-Cl) с $(11s6p2d)/[4s3p2d]$ и $(5s2p)/[3s2p]$ гауссовыми базисами соответственно для атомов O и H. POL-Cl расчеты H₂ и OH дали для равновесных расстояний R_e и фундаментальных частот ω_e зна-

расчет
поверхн.
потенциал.
Энергии,
скорости,
диаметры
гомосистем

Ф. 1980 № 12

чения, отличающиеся от экспериментальных не более чем на 3%, однако совпадение величин энергий диссоциации хуже. Расчеты геометрии седловой точки реакции показали, что расстояния Н—Н и О—Н на 0,16 Å (22%) и 0,25 Å (24%) длиннее соответствующих расстояний в H_2 и OH. Вычисленная высота барьера 12,5 ккал/моль. Расчеты константы скорости реакции проводились в рамках теории переходного состояния и дали хорошее согласование с экспериментом в диапазоне $T = 300 - 2000^\circ K$.

В. А. Куликов

H_2O

Cl^-

Br^-

γ^-

OH^-

(γ)

№ 11



Ф. 1981 № 4

отмече 10585

1980

4 Д570. Вакуумная УФ-фотоэлектронная спектроскопия воды и водных растворов. Vacuum ultraviolet photoelectron emission spectroscopy of water and aqueous solutions. Watanabe Iwao, Flanagan James B., Delahay Paul. «J. Chem. Phys.», 1980, 73, № 5, 2057—2062 (англ.)

Методом фотоэлектронной спектроскопии исследованы: вода, растворы фосфорной кислоты, ряда фосфатов и галогенидов щелочных металлов в жидким состоянии. Сущность методики состоит в измерении полного тока фотоэлектронов, вылетающих с поверхности тонкой пленки исследуемого раствора или чистой воды под действием вакуумного УФ-излучения. Длина волны ионизирующего излучения варьировалась в диапазоне 6—10,5 эв с помощью вакуумного монохроматора с водородным источником света. Тонкая пленка раствора вытягивалась в вакуум (давл. 5 мм рт. ст.) из ванны с раствором вращающимся квадцевым диском (диаметр

диска 52 мм), частично погруженным в жидкий раствор. Т-ра раствора поддерживалась постоянной $\sim 1,5^\circ \text{C}$. Установлено, что влияние примесных поверхностно-активных в-в, существенно (на 1—2 эв) понижающих работу выхода фотоэлектронов из раствора в вакуум, может быть сведено к минимуму увеличением скорости вращения диска до 200 оборотов в минуту. Анализ кривых эффективности фотонеонизации растворов в рамках теории Бродского—Царевского позволил определить пороги ионизации (в эв): $9,3 \pm 0,3$; $8,7 \pm 0,2$; 7,9; 7,2 и 8,4 для H_2O , Cl^- , Br^- , J^- и OH^- соответственно. Обсуждены предварительные результаты исследования растворов H_3PO_4 , KH_2PO_4 , K_2HPO_4 и K_3PO_4 . Библ. 36.

М. Тимошенко

ink

H_2O Osmium 10580 1980
Yamaguchi Y. et al.
J. Chem. Phys., 1980, 73,
N5, 2310-8
Ref. 1000

AM. HCN-II

H₂O

1980

12 Д60. Решение механической ангармонической спектроскопической задачи для нелинейных XV молекул. Ярославская Е. В., Скотников А. И., Свердлов Л. М. «Спектроскопия атмосф. газов и распростран. оптич. волн». Томск, 1980, 124—130

расчет Л.Л.

В рамках полуэмпирич. теории колебательно-вращательного взаимодействия, основанной на теории возмущений и обобщенной в работах Нильсена, проведено решение механич. ангармонич. спектроскопич. задачи для нелинейных трехатомных молекул. При этом параметры потенц. ф-ций находятся последовательно с привлечением всей имеющейся экспериментальной спектроскопич. информации. Алгоритм решения реализован на языке Фортран-4 применительно к машинам серии ЕС с операционной системой. После решения обратной задачи решается прямая задача для заданного из $n=20$ числа изотопов молекулы. В качестве примера приведены результаты для молекулы воды.

Б. Д. Ф.

cf. 1983, 18, n/2

H₂O

1980

Yoffe Jonathan A;
et al.

paecil
monocyst

Theor. chim. acta 1980,
56, N3, 191-98.

corr. H₂ & H₁

H₂O

1980.

Задорога д. с.; Чарквий о. п.

кл. мез.
пачес 1980, № 1980, 21 (3), 3-8.

(см. Лит; II)

H₂O

1981

Achiba Y., et al.

Photo-

ionization

Y. Electron Spectro.
and Relat. Phenom.
1981, 22, v2, 187-190

(see e. C_{Hy}; II).

H₂O

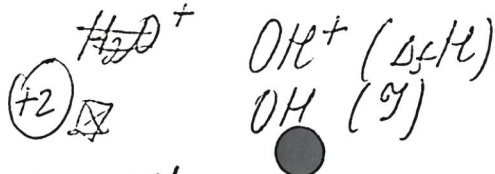
1981

H₂O⁺

D₂O⁺

97: 79174u Dissociative ionization of water and heavy water by electron impact. Allam, S. H.; Migahed, M. D.; El-Khodary, A. (Fac. Sci., Cairo Univ., Egypt). *Egypt. J. Phys.* 1981, 12(1), 9-16 (Eng). The ionization potentials of H₂O, H₂O⁺, D₂O⁺, and OH, the appearance potential and heat of formation of OH⁺, and the threshold for D₂O⁺ + e⁻ → OD⁺ + D + 2e⁻ were obtained in mass-spectrometric studies of the electron-impact ionization and dissociation of H₂O and D₂O. Within exptl. error, no isotope effects were obsd.

g.



C.A. 1982, 97, N10

H₂O

Фотомасск 12397

1981

6 Б227. Спектр поглощения водяного пара в области 0,59 мкм. Antipov A. B., Bykov A. D., Kapitanov V. A., Lopasov V. P., Makushkin Yu. S., Tolmachev V. I., Ulenikov O. N., Zuev V. E. Water-vapor absorption spectrum in the 0.59-μm region. «J. Mol. Spectrosc.», 1981, 89, № 2, 449—459 (англ.)

*Спектр
поглощений*

Представлены результаты теор. и эксперим. исследования спектра поглощения водяного пара в области 586,9—596,6 нм. Спектр записан на диодном лазерном оптоакустич. спектрометре при коми. т-ре и давл. 930 Па с разрешением $7 \cdot 10^{-4}$ см⁻¹. Идентифицировано 282 линии поглощения, принадлежащие полосам $4\nu_1 + \nu_3$, $3\nu_1 + 2\nu_2 + \nu_3$, $3\nu_1 + 2\nu_3$. Теор. анализ спектра выполнен с учетом Ферми резонанса между (401) (321) и (222) и кориолисова резонанса между (401), (321) и (302), (222) колебательными состояниями и скалярных колебательно-вращательных взаимодействий и определены константы этих взаимодействий. Вычислены величины колебательно-вращательных уровней энергии для коле-

X. 1982, 19, N6.

бательных состояний: (401) для $J=0-10$, (321) для $J=0-10$, (302) для $J=0-8$. В. М. Михайлов

В. М. Михайлов

СВЯ

H₂O

1981

UK snekmp

/ 95: 159017u Water vapor absorption spectrum in the 0.59 μm region. Antipov, A. B.; Bykov, A. D.; Kapitanov, V. A.; Lopasov, V. P.; Makushkin, Yu. S.; Tolmachev, V. I.; Ulenikov, O. N.; Zuev, V. E. (Inst. Atmos. Opt., 634055 Tomsk, USSR). *J. Mol. Spectrosc.* 1981, 89(2), 449-59 (Eng). The water-vapor absorption spectrum was measured at 586.9-596.6 nm. In the given range, 282 water-vapor absorption lines were recorded and were identified as belonging to the bands $4\nu_1 + \nu_3$, $3\nu_1 + 2\nu_2 + \nu_3$, $3\nu_1 + 2\nu_3$. Theor. justification of the technique for interpreting the obsd. spectrum was made. The values of more vibration-rotation levels of energy were detd.: for state (401) up to $J = 10$, for state (321) up to $J = 10$, and for state (302) up to $J = 8$. The rotational and centrifugal consts. of the reduced Watson's Hamiltonian for the vibrational states (401), (321), (302), and (222) and consts. of Fermi resonance (401)-(321), (302)-(222), and Coriolis resonance between the states (401), (321), and (302), (222) were detd.

C.A. 1981, 95, N18

H₂D

Оттиск 12397 1981

4 Д533. Спектр поглощения паров воды в области 0,59 мкм. Water-vapor absorption spectrum in the 0.59-μm region. Antipov A. B., Bykov A. D., Kapitanov V. A., Lopasov V. P., Makushkin Yu. S., Tolmachev V. I., Ulenikov O. N., Zuev V. E. «J. Mol. Spectrosc.», 1981, 89, № 2, 449—459 (англ.)

При комнатной т-ре исследованы спектры колебательного поглощения паров воды (давление 930 Па) в области 586,9—596,6 им. Источником света служил перестраиваемый лазер на красителе (родамин 6Ж), работающий в непрерывном режиме, регистрация спектра осуществлялась оптико-акустич. приемником. Частота модуляции возбуждающего света составляла 66 Гц. В исследованной области зарегистрировано 282 линии поглощения, отнесенных к тонкой структуре колебательно-вращательных переходов $4v_1 + v_3$ (4, 0, 1), $3v_1 + 2v_2 + v_3$ (3, 2, 1) и $3v_1 + 2v_3$ (3, 0, 2). Подробно описана процедура теоретич. обработки полученных спектров.

D_i, III-A.

Ф 1982, 18, N 4.

H₂O

1981

*метод
расчета*

(+3)

X.1982, 19, N6.

6 Б8. Метод лартри—Фока с квадратичной сходимостью (КС—ССП). Приложение к системам с замкнутыми оболочками. Bacskay G. B. A quadratically convergent Hartree—Fock (QC-SCF) method. Application to closed shell systems. «Chem. Phys.», 1981, 61, № 3, 385—404 (англ.)

Развита процедура оптимизации орбиталей для однодетерминантной волновой ф-ции приближения Хартри—Фока, обеспечивающая квадратичную сходимость. С использованием формализма конфигурац. взаимодействия выведены общие ур-ния типа ур-ний Ньютона — Рафсона для коэф. преобразования орбитального подпространства и рассмотрены частные случаи, приводящие к др. известным схемам оптимизации орбиталей. Предложен приближенный метод решения полученных ур-ний, позволяющий избежать четырехиндексного преобразования интегралов. Проанализировано соотношение между данным подходом и связанный теорией возмущений Хартри—Фока. Приведены результаты расчетов молекул H_2O , CO , $\text{C}_2\text{H}_2\text{N}^+$ и N_2 . Показана высокая эффективность предложенной процедуры даже в простейшем ее варианте. А. Н.

H₂O

1981

Berezay F.

Физико-хим. теория. Chem. Phys. Lett.;
1981, 81, № 2, 311-314.

(если H₂; \hat{H})

MOH

[oerwek 12815]

1981

420

Bohm M. C., Gleiter R.

одзоп,
многий.
пакети.
лишкы.
спутник,
реактів.
г

Theor. chim. acta, 1981,
59 (2), 153 - 179.

H₂O

Lommeca 11654

1981

Bohme D.K., et al.

(Ap⁺)

J. Amer. Chem. Soc., 1981, 103
2173-75

1981

H₂O

CREAM
NONPOLAR,
BP 113 AM.
NO CM., N₃

95: 88440p Analysis of absorption spectra of water-d₂, water-d and water vapors in the 1.06 μm region. Bykov, A. D.; Zuev, V. E.; Lopasov, V. P.; Makushkin, Yu. S.; Sinitsa, L. N.; Ulenikov, O. N. (Inst. Opt. Atmos., Tomsk, USSR). *Dokl. Akad. Nauk SSSR* 1981, 25S(4), S54-8 [Phys.] (Russ.). The absorption spectrum at 9160-9400 cm⁻¹ of a H₂O-HDO-D₂O vapor mixt. at lab. conditions contains >300 absorption lines which are assigned to the (111) and (012) bands of H₂O, (112) and (013) bands of D₂O, and (310) and (121) bands of HDO. The theor. treatment of the exptl. results included interpretation of the lines, detn. of the vibrational-rotational energies in the upper vibrational states, and detn. of rotational and centrifugal consts.

(4.2)

C.A. 1981, 95, v110

H_2O

HDO

D_2O

спектр
поглощ.

1981

} 10 Д393. Анализ спектра поглощения паров D_2O ,
 HDO и H_2O в районе 1,06 мкм. Быков А. Д.,
Зуев В. Е., Лопасов В. П., Макушкин Ю. С.,
Синица Л. Н., Уленников О. Н. «Докл. АН
СССР», 1981, 258, № 4, 854—858

} В лабораторных условиях зарегистрированы и тео-
ретически обработаны спектры поглощения паров D_2O ,
 HDO и H_2O в области 9160—9400 см⁻¹. Зарегистриро-
вано более 300 линий поглощения, отнесенных к по-
лосам (111) и (012) H_2O , (112) и (013) D_2O , (310)
и (121) HDO . Проведена интерпретация полученного
спектра и проделан анализ возможности решения об-
ратной спектроскопич. задачи на основе полученных
эксперим. данных. Определены вращательные и центро-
бежные постоянные, описывающие спектр в пределах
ошибок измерений.

Автореферат

(+2)

Ф.10.1981

H₂O

1981

Brenel Y., et al

J. chim. phys. et phys.-
-chim. biol., 1981, 78,
N₂, 119-125

● (see H₂; III)

H_2D

Лоттиск 1948 / 1981

24 Б276. Взаимодействующие состояния (020), (100) и (001) $H_2^{17}O$ и $H_2^{18}O$. Саму-Реует С. Флауд Ж. М. The interacting states (020), (100), and (001) of $H_2^{17}O$ and $H_2^{18}O$. «J. Mol. Spectrosc.», 1981, 87, № 1, 233—241 (англ.)

По эксперим. значениям энергий более 350 колебательно-вращательных уровней состояний (020), (100) и (001) молекул $H_2^{17}O$ и $H_2^{18}O$ рассчитаны вращат. и колебат. параметры этих состояний (51 параметр для каждой изотопной модификации). В каждом случае v -диагональная часть гамильтониана представлялась в виде гамильтониана типа Уотсона. Взаимодействия типа Кориолиса и резонанса Ферми учитывались подбором соотв-щих вращательно-колебательных операторов. Из полученных параметров рассчитаны энергии вращат. уровней состояний (020), (100) и (001) и отмечено, что

дл.н., ди

X. 1981, 19, N24.

Энергии $\sim 87\%$ рассчитанных уровней в пределах 15×10^{-3} см $^{-1}$ совпадают с экспериментальными. Постоянные H_2^{17}O и H_2^{18}O отлично согласуются с данными для H_2^{16}O . Рассчитаны волновые функции, к-рые могут быть использованы для расчета интенсивностей линий в полосах $2v_2$, v_1 и v_3 H_2^{17}O и H_2^{18}O .

С. Б. Осин

$H_2^{17}O$, $H_2^{18}O$ | Омск 12/48/1981

12 Д79. Взаимодействующие состояния (020), (100) и (001) $H_2^{17}O$ и $H_2^{18}O$. The interacting states (020), (100), and (001) of $H_2^{17}O$ and $H_2^{18}O$. Саму Регет С., Флайд Ж.-М., Тот Р. А. «J. Mol. Spectrosc.», 1981, № 1, 233—241 (англ.)

На основе эксперим. результатов для 350 вращательных уровней трех колебательных состояний (020), (100) и (001) изотопов воды $H_2^{17}O$ и $H_2^{18}O$ методом наименьших квадратов определены 51 вращательная константа и константа связи для каждого изотопа. Для всех колебательных состояний гамильтониана уотсоновского типа учтены резоныансы Ферми и два типа корiolисовых взаимодействий. При этом 87% эксперим. уровней воспроизводится в пределах $15 \cdot 10^{-3}$ см $^{-1}$. Найденные в работе волн. ф-ции могут быть использованы для вычисления интенсивностей линий $2v_2$, v_1 и v_3 полос $H_2^{17}O$ и $H_2^{18}O$.

Б. Д. Ф.

φ 1981, 18, N 12 .

H₂O

отмечено 11542

1981

20 Б181. Положения и интенсивности линий полос $2\nu_2$, ν_1 и ν_3 молекулы H_2^{17}O . Samy-Peyret C., Flaud J.-M., Toth R. A. Line positions and intensities for the $2\nu_2$, ν_1 and ν_3 bands of H_2^{17}O . «Mol. Phys.», 1981, 42, № 3, 595—604 (англ.)

Разработанным авторами методом («J. Molec. Spectrosc.», 1975, 55, 278), учитывающим вибровращательные резонансы, рассчитаны интенсивности линий колебательно-вращательных структур полос $2\nu_2$, ν_1 и ν_3 молекулы H_2^{17}O и сравнены с эксперим. интенсивностями для 280 линий. Найдены постоянные во вращательном разложении трансформированных операторов моментов перехода относительно нормальных координат ${}^1\mu_x = -0,021500 \pm 0,00030$ и ${}^3\mu_z = 0,09596 \pm 0,0012$ D. На основании этого рассчитан полный спектр полос $2\nu_2$, ν_1 и ν_3 H_2^{17}O .

Б. В. Рассадин

X. 20. 1981

H₂O

Omnidata 11542 1981

(?)
195: 32762c Line positions and intensities for the $2\nu_2$, ν_1 and ν_3 bands of water-¹⁷O. Camy-Peyret, C.; Flaud, J. M.; Toth, R. A. (Lab. Phys. Mol. Opt. Atmos., CNRS, 91405 Orsay, Fr.). *Mol. Phys.* 1981, 42(3), 595-604 (Eng). The consts. involved in the rotational expansion of the transformed transition moment operators of the $2\nu_2$, ν_1 , and ν_3 bands of H₂¹⁷O were detd. through a fit of 280 measured line intensities. The coeffs. $^1\mu_x$ and $^3\mu_z$ of the dipole moment with respect to normal coordinates were $^1\mu_x = -0.021500$ and $^3\mu_z = 0.09596$ D. The whole spectrum of the $2\nu_2$, ν_1 , and ν_3 bands of H₂¹⁷O was caled. from the transition moment operators.

C. A. 1981. 95 n/4

$H_2^{17}O$

оттиск 11548 1981

11 Д61. Положения и интенсивности линий в полосах $2v_2$, v_1 и v_3 спектра $H_2^{17}O$. Line positions and intensities for the $2v_2$, v_1 and v_3 bands of $H_2^{17}O$. Саму-Реугет С., Flaude J.-M., Toth R. A. «Mol. Phys.», 1981, 42, № 3, 595—604 (англ.)

По опытным значениям интенсивностей 280 линий в полосах $2v_2$, v_1 и v_3 спектра $H_2^{17}O$ определены численные значения колебательных переходных моментов, выраженных через коэф. разложения оператора дипольного момента по норм. координатам. Для производных дипольного момента получены значения $\mu_x = -0,021500$ ед. Дебая и $^3\mu_z = 0,09596$ ед. Дебая с оценками погрешностей. Полные интенсивности полос равны (в единицах $\text{см}^{-1}/\text{молекула}\cdot\text{см}^{-2}$) $0,717 \cdot 10^{-19}$, $0,461 \cdot 10^{-18}$ и $0,681 \cdot 10^{-17}$ при 296 К. Приводится таблица частот и интенсивностей всех линий, соответствующих значений верхнего и нижнего вращательных квантовых чисел и энергий отдельных уровней. Рассмотрено влияние изотопозамещения на интенсивности.

М. А. Ковнер

φ. 1981, 18, N11.

H_2O

1981

7 Д393. Локальные и нормальные колебательные состояния. Модель ангармонических осцилляторов с гар-

моническим взаимодействием. Local and normal vibrational states: a harmonically coupled anharmonic-oscillator model. Child M. S., Lawton R. T. «Faraday Discuss. Chem. Soc.», 1981, № 71, 273—285 (англ.)

расчет
структур

(+3)

Теоретически исследована структура состояний высоких обертонов простых молекул. Нерегулярность спектров обертонов определяется взаимодействиями связей в молекуле, эти взаимодействия усиливаются при возбуждении. Показано, что существенное влияние на строение спектра оказывает конкуренция взаимодействия и ангармоничности связей. Предложена модель, включающая в себя прямое и косвенное (через третью координату) гармонич. взаимодействие ангармонич. осцилляторов. Модель применена для расчета обертонов валентных колебаний H_2O , C_2H_2 , C_2D_2 и SO_2 . Парамет-

ок. 1982, 18, № 7.

ром модели является отношение константы взаимодействия и ангармоничности. Его величина мала для молекул H_2O и C_2H_2 , вследствие этого они близки по строению обертонаов к «локальному пределу», и велика для C_2D_2 и SO_2 , близких к «норм. пределу». Библ. 28.

М. В. Т.

H₂O

1981

10 Б72. Локальные и нормальные колебательные состояния: модель гармонически связанных ангармонических осцилляторов. Child M. S., Lawton R. T. Local and normal vibrational states: a harmonically coupled anharmonic-oscillator model. «Faraday Discuss. Chem. Soc.», 1981, № 71, 273—285 (англ.)

Предложена модель, позволяющая объяснить нерегу-

лярную структуру сильно возбужденных обертонов и составных колебательных частот на основе представлений о квазивырождении локальных колебаний. Два предельных случая модели соответствуют локальным и нормальным колебаниям. Модель применена к описанию колебательных состояний H₂O, C₂H₂, C₂S₂ и SO₂.

Б. И. Жилинский

8
43

X. 1982, 19, N 10.

H₂O

1981

1 Д130. Расчеты электронных оже-спектров H₂O, HF и C₂H₄ с помощью полуэмпирического метода молекулярных орбиталей ХАМ/3. Calculation of Auger electron spectra of H₂O, HF and C₂H₄ with the semi-empirical HAM/3 molecular orbital method. Chong DeLano P. «Chem. Phys. Lett.», 1981, 82, № 3, 511—516 (англ.)

С помощью полуэмпирич. метода молекулярных орбиталей ХАМ/3 рассчитаны энергии и оценены интенсивности электронных оже-переходов в молекулах H₂O, HF и C₂H₄. Сравнение рассчитанных оже-спектров с экспериментальными и полученными в результате неэмпирич. расчетов показывает пригодность метода ХАМ/3 для таких расчетов. Отмечается, что в случаях расчетов энергий переходов с вырожденной MO на вырожденную MO следует критически относиться к результатам, полученным по схеме ХАМ/3.

А. И. Дементьев

(2)

90. 1982, 18, N1.

H_2O

1981

Chojnacki H., et al.

γ , KB. seex.
paoriū. Acta Phys. Pol. A 1981,
A60 (5), 687 - 695.



(cav. N_2 ; II)

H₂O

1981

Kb. *uccx.*

pacrem,
zeoceripus

vi;

De Frees D. J., et al.

Inorg. chim. acta,
1981, 47, N 1, 19-23.

(*ucc. HF*; *II*). 

H₂O(lc)

Commica 12862 | 1981,
Delahay P., et al.

геттоатом.
снег.
морозильни

Chem. Phys. Lett.;
1981, 83 (2),
250-254.

H₂O

1981

crexup 6
Macipuse.

Durig J. R., et al.
Matrix Isol. Spectrosc.
Lect. and discuss. NATO
Adv. Study Inst., Montre-
eal, July 17-31, 1980.
Dordrecht ea., 1981, 397
-414.
(cer. HCl; III)

1981

H₂O

J 8 Д621. ВУФ-фотоэлектронная спектроскопия неустойчивых соединений. Ч. 13. Наблюдение состояния HO₂⁺(X³A''). Vacuum ultraviolet photoelectron spectroscopy of transient species. Part 13. Observation of the X³A'' state of HO₂⁺. Dyke J. M., Jonathon N. B. H., Mogris A., Winter M. J. «Mol. Phys.», 1981, 44, № 5, 1059—1066 (англ.)

Методом фотоэлектронной спектроскопии исследовано основное состояние иона HO₂⁺. Гидропероксильный радикал HO₂ получали из перекиси водорода при взаимодействии с атомарным F. Зарегистрированная в спектре колебательная структура ($1560 \pm 50 \text{ см}^{-1}$) приписана валентному колебанию ν_2 иона H₂O(X³A''). Полученные результаты подтверждены расчетами методом MO и сопоставлением с фотоэлектронным спектром D₂O. Уточнено значение адниабатич. потенциала ионизации HO₂ ($11,35 \pm 0,01$ эВ). Определены значения теплоты образования $\Delta H_f(298)(\text{H}_2\text{O}_2^+) = 1104 \pm 4$ кДж/моль и энергий диссоциации HO₂⁺: $D(\text{H}-\text{O}_2)^+ = 278,0 \pm 4,5$ кДж/моль и $E(\text{HO}-\text{O})^+ = 438,2 \pm 5,1$ кДж/моль.

А. В. Головин

A

41

HO₂⁺

(ΔH_f, Δο)

Ф. 1982, 18, № 8.

H_2O

Lommel 12639 (1981)

Макаров М.Д., Краснодар
8.11.

Al. спрятано · XIII
1981, дд (3), 155-157.

200 метров

H₂O

1981

16 Б234 К. Параметры линий паров воды из данных измерений в микроволновой и средней инфракрасной областях. Атлас интенсивностей и положений линий $H_2^{16}O$, $H_2^{17}O$ и $H_2^{18}O$ между 0 и 4350 см^{-1} . Flaud J.-M., Camy-Peyret C., Toth R. A. Water vapour line parameters from microwave to medium infrared: an atlas of $H_2^{16}O$, $H_2^{17}O$ and $H_2^{18}O$ line positions and intensities between 0 and 4350 cm^{-1} . Oxford e. a.; Pergamon Press, 1981. 260 pp. (Int. Tables Select. Constants, N19) (англ., фр.)

*Di, Si, ИН-
тересовать.*

Составлен атлас интенсивностей и частот линий $H_2^{16}O$, $H_2^{17}O$ и $H_2^{18}O$ в области частот 0— 4350 см^{-1} на основе анализа многочисленных спектров и численных расчетов. Представлена подробная теория расчета энергетич. уровней и интенсивностей линий колебательно-вращательных переходов для молекул XY_2 типа асимм. волчка. Приведенные данные могут быть использованы в лаб. и атмосферной спектроскопии и астрофиз. исследованиях.

С. Н. Мурзин

X. 1982, 19, N 16.

H₂O

1981

J_i

7 Д356 К. Параметры линий паров воды в интервале от микроволновой области до средней ИК-области. Атлас положений и интенсивностей линий H₂¹⁶O, H₂¹⁷O и H₂¹⁸O в спектральном интервале от 0 до 4350 см⁻¹. Water vapour line parameters from microwave to medium infrared: an atlas of H₂¹⁶O, H₂¹⁷O and H₂¹⁸O line positions and intensities between 0 and 4350 cm⁻¹. Flaud J.-M., Samy-Peyret C., Toth R. A. Oxford e. a.; Pergamon Press, 1981. 260 pp. (Int: Tables Select. Constants, № 19) ISBN 0-08-026181-7 GB (англ. фр.)

оп. 1982, 18, №.

H₂O

Ommanea 12732 | 1981.

Fliszar S., et al.

ICB. leex.

paper Canad. J. Chem., 1981,
59, 1079-82

H_2O

1981

Тәңесек Т. Б. үзг.

paerius HС. есірүкшілд. жемеш,
Do, u.h. 1981, 22, NS, 36-40.

($cus. Si_2$; $\bar{111}$)

$H_2O(aq)$

1981

1 Д528. Применение модели связанных волчка для анализа микроволновых спектров и длинноволнового ИК-поглощения ряда полярных жидкостей. Application of the confined rotator model for microwave and far-infrared absorption of some polar liquids. Gaiduk Vladimir I., Kalmykov Yury P. «J. Chem. Soc. Faraday Trans.», 1981, Part 2, 77, № 6, 929—946 (англ.)

спектр

В рамках модели связанных волчка проведен теоретический анализ микроволнового и длинноволнового ИК-спектров ряда полярных жидкостей. Показано, что либрационные и релаксационные колебания исследованных систем могут быть описаны с помощью двух величин: среднего времени τ между столкновениями молекул и полуширины потенциальной ямы β . Отмечено, что с увеличением τ -ры значение 2β возрастает, тогда как величина τ уменьшается. Предположено, что ИК-полоса $\sim 200 \text{ см}^{-1}$ в спектре жидкой H_2O , не имеющая аналогов в спектрах других простых молекул, соответствует почти свободному вра-

го. 1982, 18, № 1.

щательному движению малых агрегатов молекул H_2O . ИК-полоса $\sim 680 \text{ см}^{-1}$ в спектре H_2O отнесена к либрационному движению этих молекул в льдоподобной структуре. Определена величина комплексной пропускающей способности и дипольная автокорреляционная функция молекул H_2O . Сделан вывод, что молекулы H_2O в жидкой фазе образуют 2 различные структуры. Библ. 50.

И. В. А.

толе
у

OH_2^+

1981

Gemmell D. S.

reconcile,
circular.

Nucl. Instrum. and
Meth., 1981, 191, N1-3,
425 - 431.

(see. H_2^+ ; Li^+)

H₂O

стммск 12.9.84

1981

} 9 Б213. Инфракрасный спектр H₂O, изолированной в матрицах CO при 10 K: Доказательство существования бифуркатных димеров. Hagen W., Tielens A. G. G. M. Infrared spectrum of H₂O matrix isolated in CO at 10 K: Evidence for bifurcated dimers. «J. Chem. Phys.», 1981, 75, № 9, 4198—4207 (англ.)

Измерены ИК-спектры поглощения H₂O (4000—550 см⁻¹) при 10°K при помощи фурье-спектрометра. Из анализа изменений интенсивностей полос в зависимости от соотношения H₂O/CO сделан вывод, что начальная стадия самоассоциации молекул H₂O происходит с образованием бифуркатных димеров, в к-рых плоскости молекул H₂O развернуты перпендикулярно относительно друг друга.

Б. В. Рассадин

ИК спектр

X. 1982, 19, № 9.

H₂O

OMMUCK 12984 1981

check my
beam pulse
CO

, 95: 194685g Infrared spectrum of water matrix isolated in carbon monoxide at 10 K: Evidence for bifurcated dimers. Hagen, W.; Tielens, A. G. G. M. (Lab. Astrophys. Group, Rijksuniv., 2300 RA Leiden, Neth.). *J. Chem. Phys.* 1981, 75(9), 4198-207 (Eng). The spectrum of H₂O in a CO matrix is qual. different from that of H₂O in other matrixes. Not only are the frequency shifts of the monomeric absorptions with respect to the gas phase larger than in any other matrix, the pattern of the dimeric absorptions is also markedly different. The H₂O dimer in a CO matrix has a bifurcated structure. A no. of absorptions due to CO strongly interacting with H₂O are also reported.

C.A. 1981, 95, N22

H_2O
 $(H_2O)_2$

оттиск 12984 1981

4 Д540. ИК-спектр молекул H_2O изолированных в матрице CO при температуре 10 K: свидетельство разветвленной структуры димеров. Infrared spectrum of H_2O matrix isolated in CO at 10 K: evidence for bifurcated dimers. Hagen W., Tielens A. G. G. M. «J. Chem. Phys.», 1981, 75, № 9, 4198—4207 (англ.)

Получены ИК-спектры (4000—550 см^{-1}) молекул H_2O (I), изолированных в CO-матрице при т-ре 10 K. Обсуждены вариации относит. интенсивности ИК-полос I при изменении конц-ии I в матрице. Показано, что наблюдаемые ИК-спектры димерных форм I в CO-матрице не согласуются с циклическим или линейным строением этих димеров, характерным для димеров I в матрицах Ar , N_2 и D_2 . Сделан вывод, что димеры I в CO-матрице обладают разветвленной структурой, стабилизированной посредством взаимодействий с решеткой матрицы.

И. В. А.

обр. 1982, 18, N 4.

$(H_2O)_2$ (Di)

H₂O

Lommelé 18842) 1981

Hildebrandt R. L.
et al.

Monckjel.
empfjet.

X. Mol. Struct., 1981,

85, 25 - 36.



H₂O

ommunication
11682

1981

Hirao K., et al

metog
paerita,
Ei

Chem. Phys. Lett., 1981,
79, n^o 2, 292-298

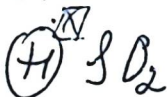
● (see Be) III

H_2O

оттиск 13028

1981

поверхн.
потенциал
желание,
расчет и т.



7 Б39. Проверка различных схем приближения уровней колебательной энергии и сумм по состояниям трехатомных молекул: H_2O и SO_2 . Isaacson Alan D., Truhlar Donald G., Seanlon Kegel, Overend John. Tests of approximation schemes for vibrational energy levels and partition functions for triatomics: H_2O and SO_2 . «J. Chem. Phys.», 1981, 75, № 6, 3017—3024 (англ.)

Рассмотрены три приближенных выражения для поверхности потенциальной энергии (ППЭ). Для всех трех ППЭ рассчитаны колебательные уровни и суммы по состояниям. Полученные результаты сравнены с результатами прямого расчета, использующего исходную ППЭ. Наименее точным найдено приближение независимых нормальных координат. Остальные приближения приводят к удовлетворительным результатам.

В. Б. Павлов-Веревкин

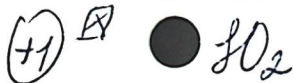
X.1982, 19, N.7.

H₂O

DEMMERICK 13028 1981

KONEFAM ·
YPROTHU ·
CYNMA
NO COCMOULI.

95: 157025w Tests of approximation schemes for vibrational energy levels and partition functions for triatomics: water and sulfur dioxide. Isaacson, Alan D.; Truhlar, Donald G.; Scanlon, Kerin; Overend, John (Dep. Chem., Univ. Minnesota, Minneapolis, MN 55455 USA). *J. Chem. Phys.* 1981, 75(6), 3017-24 (Eng). Various approx. schemes are used to obtain vibrational energy levels and partition functions for H₂O and SO₂. These results are then compared with accurate quantum mech. values computed for the same original quartic force fields. The neglect of interaction force consts. in internal coordinates and the use of a Morse model to describe stretching anharmonicity are both shown to provide reasonably accurate perturbation theory energy levels and partition functions, while the neglect of interaction force consts. in normal coordinates yields much less accurate results. In addn., the method of Pitzer and Gwinn (1942) to calc. partition functions without 1st caleg. energy levels is shown to provide a good approxn. to the accurate partition functions.



C. A. 1981, 95, N 18.

H_2O

Омск 13.02.81 1981

4 Д120. Проверка точности различных приближенных схем расчета уровней колебательной энергии и статистических сумм для трехатомных молекул. H_2O и SO_2 . Tests of approximation schemes for vibrational energy levels and partition functions for triatomics: H_2O and SO_2 . Isaacson Alan D., Truhlar Donald G., Scanlon Kevin, Overend John. «J. Chem. Phys.», 1981, 75, № 6, 3017—3024 (англ.)

Путем сравнения с результатами точных квантовых расчетов проводится проверка точности следующих приближенных схем расчета уровней колебательной энергии и статистич. сумм для трехатомных молекул: 1) приближения сепарабельных норм. мод, учитывающего только внутримодовую ангармоничность и пренебрегающего связью норм. мод; 2) комбинированного приближения общего гармонич. поля сил и ангармонич. поля валентных сил; 3) приближения Морзе для ангармоничности продольных колебаний и пренеб-

расчет J_i ,
 Σ_i , спад.
 Сущин

(+) \otimes
 SO_2

ф. 1982, 18, № 4.

режения ангармоничностью деформационных колебаний и т. д. Сравнение проводится на примере молекул H_2O и SO_2 с использованием известных в литературе потенциалов взаимодействия. Найдено, что чисто гармонич. приближение приводит к заметным ошибкам: в пределах 111—479 см^{-1} для уровней энергии и, как следствие этого, к занижению статистич. сумм на 10—35 %. Пренебрежение константами взаимодействия во внутренних координатах и использование потенциала Морзе для продольной ангармоничности дают заметно более точные результаты.

А. А. Зембеков

H₂O

Lommelk 12772

1981.

Ishida K., et al

200MEMP,

14

Bull. Chem. Soc. Japan.
1981, 54, 967 - 970

1981

 H_2O O_3 CH_2 He (методика)
(расчеты)(43)

X. 1981, N 19

19 Б8. Улучшенная форма связывающего оператора:
 Ishikawa Yasuuki. Improved construction of coupling operator. «Z. Naturforsch.», 1981, A36, № 4, 366—368 (англ.)

В рамках схемы одного гамильтониана, предложенной Адамсом («Phys. Rev.», 1969, 183, 37; «J. Chem. Phys.», 1978, 69, 1924), улучшен способ построения связывающего оператора, что позволяет достичь лучшего смешивания пар орбиталей. В то же время схема (не учитывает взаимодействия между парами, что не позволяет достичь квадратичной сходимости. В качестве примера проведены расчеты вторых 1A_1 -состояний молекул H_2O , O_3 , CH_2 и 2^1s -состояния атома He . Предложенная методика позволила достичь сходимости в этих задачах.

А. Багатурьянц

1981

H₂Oy, D₀,

(5)

2Д111. Вакантные орбитали валентного типа для вычислений взаимодействия конфигураций. Valence type vacant orbitals for configuration interaction calculations. Iwata Suehiko. «Chem. Phys. Lett.», 1981, 83, № 1, 134—138 (англ.)

Предложен простой метод получения вакантных орбиталей валентного типа (ВОВТ), подходящих для проведения расчетов с учетом КВ. ВОВТ конструируются в предположении, что в молекуле они могут быть приближенно выражены только через валентные орбитали атомов. Демонстрация метода проведена на молекуле CO. Проведен расчет вертикальных потенциалов ионизации H₂O, H₂S, NH₃ и C₂H₂ в различных состояниях. Вычислены потенц. кривые молекулы N₂ и иона N₂⁺ в различных состояниях. Энергия диссоциации $D_e(N_2) = 9,4$ эВ при $D_e(N_2, \text{эксп.}) = 9,905$ эВ. Сравнение с результатом Роса, Тейлора и Зигбана (8,759 эВ) указывает на преимущество предлагаемой методики. Указана область наилучшего применения ВОВТ как базисных МО для молекул явного эффективного гамильтониана Иваты и Фрида (Iwata S.; Fre-

окт. 1982, 18 № 2.

на огорот

ed K. F. «J. Chem. Phys.», 1976, 65, 1071).

А. Б. Болотин

H_2S , NH_3 , C_2H_2 (σ , D_0)

N_2 , N_2^+ (номенк. крил.)

аной
соб'

H₂O

1981

2 Д131. Решение расширенной модели Томаса—Ферми для трехатомных молекул. Solution of the extended Thomas—Fermi model for triatomic molecules. Jacob B., Dreizler R. M., Gross E. K. U. «J. Phys. B: Atom. and Mol. Phys.», 1981, 14, № 16, 2753—2759 (англ.).

Решение электронной задачи для трехатомных молекул H₂O и SO₂ проведено в рамках расширенной модели Томаса—Ферми, в которой учитывается обменный вклад первого порядка и вклад второго порядка для кинетич. энергии. Использованная модель позволяет получить правильное поведение плотности вблизи ядер и в асимптотич. области. Результаты расчета хорошо согласуются с эксперим. данными и с теоретич. расчетами в рамках метода МО ЛКАО. Отличие от результатов, найденных с помощью простой модели Томаса—Ферми, составляет ~10%.

Е. А. Ж.

расчет



φ. 1982, 18, № .

O + H₂

Comptes 12028 | 1981.

Jaquet P; et al.

No (Баланс
peakов)

Kb. исх. factors

номенклатура.

Задачи

ногреков.

Chem. Phys., 1981,

59, 373 - 85.

H₂O

Lommick 13141

1981

Kabisch G.,

Raman
creeps

J. Mol. Struct., 1981,
77, N3-4, 219-228

H₂O

1981

Kidd J. F., et al.

pacrīē
ll. n.

Faraday Discuss.
Chem. Soc., 1981, N 71,
287 - 300.

(cu. Ar HCl; iⁱⁱ)

H₂O

1981

Koch S., et al.

metogly
pacrecox
monoxys

Theor. chim. acta, 1981,
59, N 4, 387 - 411.

(cccl. Be₂; !!!)

MgO

1981

notes by
Q-P-Yung

Kollaman Peter J.,
et al.

Chem. Appl. At. Mol.
Electrost. Potentials
Proc. Symp. Rob. Electrostat.
Potential Cheon, 1980,
(Pub. 1981), 243-55.

(e.g. $(MgO_2; II)$).

H_2O

Омск 13.08.1981

№ 6 Д354. Об энергии колебательно-вращательных уровней молекулы. Использование метода возмущений в полужесткой модели. On the rotation-vibration energy levels of a molecule. Perturbation approach to the semi-rigid model. Konarski J. «J. Mol. Spectrosc.», 1981, 90, № 1, 1—14 (англ.)

Энергии
вращатель-
уровней

Получено уравнение для определения энергии колебательно-вращательных уровней молекулы, без использования условий Экарта, пригодное для описания колебаний как малой, так и большой амплитуды. Упрощенный вариант уравнения, в котором колебательно-вращательное взаимодействие рассматривается как возмущение, применен для вычисления энергии вращательных уровней молекул H_2O в колебательных состояниях 000, 010, 100 и 011.

Библ. 18.

Ф.1982, 18, №.

H₂O

OMNIFILE 13-008

1981

95: 177876c. On the rotation-vibration energy levels of a molecule. Perturbation approach to the semirigid model. Konarski, J. (Inst. Chem., A. Mickiewicz Univ., 60-780 Poznan, Pol.). *J. Mol. Spectrosc.* 1981, 90(1), 1-14 (Eng). A general equation for the vibrational-rotational energy of a mol. was obtained without the use of Eckart conditions. A simplified form of this equation in which coupling between rotation and vibration is treated as a perturbation was applied to the calcn. of the rotational energy levels of H₂O in the (0,0,0), (0,1,0), (0,0,1), (1,0,0), and (0,1,1) vibrational states.

кон. спаудат
уровни
вращения и

C.A. 1981, 95, n120

H2D

1981

1 Д 104. Изучение сходимости в неэмпирических расчетах ССП. A study of convergence in ab initio SCF calculations. Kozmutza C., Ozogócsy Zs. «Acta phys. Acad. sci. hung.», 1981, 51, № 1—2, 25—30 (англ.)

На основе расчетов молекул H_2O и NH_3 обсуждена сходимость метода ССП в зависимости от способа диагонализации матрицы фокиана, применяемого на каждом шаге итераций. Показано, что при вырождении MO применение метода Хаусхольдера с процедурой QR ведет к расходимости итераций, тогда как при использовании диагонализации Якоби итерационный процесс сходится.

А. И. Дементьев

(4)

ср. 1983, 18, № 1

H₂O

1981

ab initio
pacem

' 95: 192733x Ab initio program for treatment of related molecules. I. Integral part. Kozmutza, Cornelia (Phys. Inst., Tech. Univ. Budapest, Budapest, Hung.). *Theor. Chim. Acta* 1981, 60(1), 53-63 (Eng). A computer program (SYCETY) for ab-initio calcns. of n -center ($n = 2, 3$, or 4), 2-electron, mol. integrals is described, which uses local symmetries to avoid redundant calcn. of integrals over spatially equiv. subsets of the basis function. The integrals are grouped in a particular way to facilitate their transfer. The program is suitable for treatment of related systems with model geometries. The computing times of different programs are compared, and the efficiency of SYCETY is demonstrated for H₂O, C₂H₆, and C₃H₈.

⑦

(#1)

C. A. 1981, 95, N22.

H₂O

1981

5 Д373. Электрический дипольный момент H_2O в возбужденном колебательном состоянии v_2 . Electric dipole moment of H_2O in the v_2 excited vibrational state. Kuze Hiroaki, Amano Takayoshi, Shimizu Tadao. «J. Chem. Phys.», 1981, 75, № 10, 4869—4872 (англ.)

Получены микроволновые штарковские спектры паров H_2O при 165° С. Калибровка электрич. полей выполнена по штарковским сдвигам OCS. Изучены вращательные переходы $4_{1,4} \leftarrow 3_{2,1}$ и $4_{2,3} \leftarrow 3_{3,0}$ молекулы H_2O в колебательном состоянии v_2 . По величинам сдвигов определены значения дипольного момента для этих переходов. С использованием гамильтониана Уотсона и литературных данных для производных дипольного момента по колебательным координатам в найденные величины введены поправки на центробежную деформацию. Найденная величина свободного от искажений дипольного момента H_2O в состоянии v_2 составляет 1,827 ед. Дебая. Библ. 15.

М. В. Т.

Ф. 1982, 18, N5.

H₂O

отм. чек 11968

1981

4 Б384. Анализ центробежного искажения чисто вращательных спектров $H_2^{16}O$, $H_2^{17}O$ и $H_2^{18}O$. Кугб Е.
Centrifugal distortion analysis of pure rotational spectra
of $H_2^{16}O$, $H_2^{17}O$, and $H_2^{18}O$. «J. Mol. Spectrosc.», 1981,
88, № 1, 167—174 (англ.)

На основе специально составленной программы для определения 30 вращательных и центробежных постоянных при 400 исходных данных о спектроскопич. переходах выполнен анализ центробежного искажения в $H_2^{16}O$ (I), $H_2^{17}O$ (II) и $H_2^{18}O$ (III). При анализе использованы для I, II и III соотв., лит. данные о ИК-частотах 368, 282 и 282 вращательных переходов с максим. значениями квантовых чисел $J=15$, $K_a=10$. Расчеты выполнены с использованием гамильтониана в представлении Уотсона с 27 вращательными и центробежными постоянными и с операторами углового момента в степени до 12. Стандартное отклонение расчетных и эксперим. частот составляет для I, II и III соотв. $1.3 \cdot 10^{-3}$, $1.6 \cdot 10^{-3}$ и $1.4 \cdot 10^{-3}$ см $^{-1}$. Для боль-

X. 1982, 19, N 4

шинства центробежных постоянных существует сильная взаимная корреляция. Вращательные постоянные для I, II и III, соответственно, равны (в см^{-1}) $A=27,8805998(2900)$, $27,6951400(4200)$ и $27,5312371(3400)$, $B=14,5216038(1400)$, $14,5216847(2100)$ и $14,5218299(1700)$, $C=9,2777032(1400)$, $9,2566257(2100)$ и $9,2380164(1700)$. При помощи полученных спектроскопич. данных рассчитаны уровни вращательной энергии I, II и III и вычислены частоты МВ-переходов в области 5—800 ГГц.

С. Н. Мурзин

15
А.

Отмыв 11968

1981

H₂O

2 Д566. Анализ центробежного искажения в чисто вращательных спектрах молекул H₂¹⁶O, H₂¹⁷O и H₂¹⁸O.
Centrifugal distortion analysis of pure rotational spectra of H₂¹⁶O, H₂¹⁷O and H₂¹⁸O. Кугё Е. «J. Mol. Spectrosc.», 1981, 88, № 1, 167—174 (англ.).

Составлена программа для расчета вращательных и центробежных постоянных из частот вращательных переходов на мини-ЭВМ: программа позволяет определить 30 параметров из частот 400 переходов с $J \leq 15$. Из частот более 900 вращательных переходов основного колебательного состояния в ИК-области спектры молекул H₂O с изотопами ¹⁶O, ¹⁷O и ¹⁸O, измеренных ранее на фурье-спектрометре с разрешением 0,01 см⁻¹, вычислены значения для 27 вращательных и центробежных постоянных для каждой из этих молекул. Из полученных значений постоянных вычислены частоты микроволн. переходов в диапазоне вплоть до 750 ГГц; расхождение с измеренными частотами составляет <70 МГц.

М. Р. Алиев

оф. 1982, 18, № 2.

$H_2^{16}O$, $H_2^{17}O$, $H_2^{18}O$ OMNUCK 1981
1968

(M.A., Hepuu, Kyro)
(yrobheu)

95: 123243a Centrifugal distortion analysis of pure rotational spectra of water (oxygen-16, -oxygen-17, and -oxygen-18). Kyro, E. (Dep. Phys., Univ. Oulu, SF-90570 Oulu, Finland). *J. Mol. Spectrosc.* 1981, 88(1), 167-74 (Eng). Centrifugal distortion analyses based entirely on high-quality IR data were carried out for the ground vibrational states of $H_2^{16}O$, $H_2^{17}O$, and $H_2^{18}O$. The values of 27 rotation and distortion consts. for each species were detd. By using these consts., it was possible to considerably improve the accuracy of the literature values for rotational energy levels at high J , esp. for $H_2^{17}O$ and $H_2^{18}O$. The exptl. values for the energy levels were deduced from the obsd. rotational transitions constituting the fitted data.

C.A. 1981, 95, N 14.

H₂O

Lommel 12562 | 1981.

Lacy M., et al.

Cas.
met,
numerous.
robust.
Kb. Mex.
Pacific

Mol. Phys., 1981, 43,
(1), 47 - 63.

Had

1981

95: 123075x Multiple solutions in the refinement of ab initio force constants. Lacy, M. (Dep. Phys. Chem., Univ. Newcastle upon Tyne, Newcastle upon Tyne, Engl. NE1 7RU). *Mol. Phys.* 1981, 42(6), 1335-43 (Eng). The existence is detd. of a double min. in the refinement of the force consts. of H₂O mols. to ab initio energies. The indeterminacy arises because of an unsatisfactory distribution of points, as defined by their mol. geometry and may be removed by further calcn. of energies at selected geometries.

C.A. 1981, 95, n14.

H₂O

1981

1 Д79. Многочисленные решения при уточнении не-
эмпирических силовых постоянных. Multiple solutions
in the refinement of ab initio force constants. Lacy M.
«Mol. Phys.», 1981, 42, № 6, 1335—1343 (англ.)

Исследована задача нахождения силовых постоянных
для молекулы воды по известным неэмпирич. значе-
ниям энергии. Показано, что вследствие неудовлетво-
рительного расположения точек существуют два мини-
мума при нахождении силового поля по методу наи-
меньших квадратов. Изучена пригодность различных
криволинейных координат для представления потенц.
энергии в виде разложения. Отмечено, что наиболее
удобным из использованных решений для нахожде-
ния силового поля являются валентные и деформац.
координаты вида $(R - R_e)/R$ и $[\sin \theta/2] - \sin(\theta_e/2)]/\sin(\theta_e/2)$.

Е. А. Ж.

Сен. 1981.

9. 1982, 18, N1.

1981

H₂Oспектр

14 Б194. Локальные и нормальные валентные колебательные состояния молекул H₂O. Классическое и полуклассическое рассмотрение. Lawson R. T., Child M. S. Local and normal stretching vibrational states of H₂O Classical and semiclassical considerations. «Mol. Phys.», 1981, 44, № 3, 709—723 (англ.)

Рассмотрены классич. и полуклассич. характеристики вал. кол. молекул воды на реальной потенциальной Пв в интервале энергий вплоть до порога диссоциации $E_d \approx 38\ 000\ \text{см}^{-1}$. Даны оценки относит. значимостей нормальных, локальных и иррегулярных движений при различных энергиях в терминах дробных фазовых площадей в соотв-щих поверхностях сечения Пуанкаре. Идентифицированы предельные значения $E_l \approx 2200\ \text{см}^{-1}$ и $E_u \approx 30\ 000\ \text{см}^{-1}$, при к-рых становятся заметными локальные и иррегулярные движения. Разработана процедура квантовых локальных движений путем построе-

X, 1982, 19, N14.

ния приближенного пути туннелирования от одной классически вырожденной локальной моды к другой. Обсуждены формы квантованных локальных и нормально-модовых траекторий по отношению к квантово-мех. функциям.

Резюме

дни.
облу

H₂D *Омск 11785*

1981

1 Д129. Расчеты некоторых малых молекул полуспроектированным методом Хартри—Фока. Half-projected Hartree—Fock calculations on several small molecules. Lengsfeld Вугоп Н., Phillips Donald H., Schug John C. «J. Chem. Phys.», 1981, 74, № 9, 5174—5180 (англ.)

Выполнен анализ возможностей полуспроектированного по спину метода Хартри—Фока (ПСХФ) в его двух вариантах (Cox P. A. et al. «Theor. Chim. Acta», 1976,

41, 269, 279; Koutecky J. «J. Chem. Phys.», 1966, 44, 3702; 1967, 46, 2443) при определении полной энергии, поверхности потенц. энергии, энергии диссоциации малых молекул. В качестве примера определены указанные характеристики молекул H₂O, C₂, N₂, CH₂. Показано, что результаты ПСХФ во многих случаях эквивалентны данным, полученным методом многоконфигурац. взаимодействия. Расчетные данные представлены в виде табл. и графиков.

Б. В. Россихин

(+3)

90. 1982, 18, N1.

H₂D

[Ommeck 17085]

1981

Lievin J., Breulet J.,
et al.

Do;

Theor. chim. acta, 1981,
60, N 4, 339-353.

H₂O

1981

Liu Monglin, et al.

"neopeltis".
pacifica

Fenzi Kexue Xuebao

1981, 1(2), 111-114.

(eng. abstr.; 111)

H₂O

1981

5 Д122. Молекулярные электростатические потенциалы из волновых функций ВКВЛО. Molecular electrostatic potentials from PCILo wave functions. Lochmann R., Peipel G., Weller T. «Int. J. Quantum Chem.», 1981, 20, № 5, 1097—1106 (англ.).

По теории возмущений для конфигурац. взаимодействия в базисе локализованных орбиталей (ВКВЛО) в нулевом, первом и втором порядке теории возмущений рассчитаны молекулярные электростатич. потенциалы (МЭП) для H_2O , H_2CO , NH_2CHO и ряда других небольших молекул. Обнаружено, что для передачи формы и величины потенциала достаточно учет членов нулевого порядка, хотя при учете членов 1-го и 2-го порядков величины минимумов потенциала возрастают (убывают по абр. величине) и лучше согласуются с данными неэмпирич. расчетов.

В. Л.

(72)

Ф. 1982, 18, N 5.

H₂O

1981

Лужанов А.-В. и со.

и. н.; си
пакет

Теор. и эксперим. химия

1981, 14, №1, 85-88.

● (см. МЛ) III

1981

*H₂O**fpallam.**atlanz**000 u 010**Konfam. cod.**CA. 1981, 95, N26.*

/95: 228589w New measurements and improved calculations of self-broadening coefficients of lines in the ν_2 band of water. Mandin, J. Y.; Flaud, J. M.; Camy-Peyret, C. (Lab. Phys. Mol. Opt. Atmos., CNRS, 91405 Orsay, Fr.). *J. Quant. Spectrosc. Radiat. Transfer* 1981, 26(6), 483-94 (Eng). From Fourier transform spectra (resoln. $\approx 0.005 \text{ cm}^{-1}$), the self-broadening coeffs. of 16 doublet-lines, involving quasi-degenerate levels of the (000) and (010) vibrational states of water, were measured using methods previously described. For doublet-lines, it is obsd. that self-broadening is $\sim 40\%$ smaller than for other lines. This effect is well reproduced by a calen. based on the Anderson-Tsao-Curnutte method, if one takes into account the 4 following intermol. interactions: dipole-dipole, dipole-quadrupole, quadrupole-dipole, and quadrupole-quadrupole. This improved calcn. is also used to recalc. the set of 150 previously reported self-broadening coeffs.: on the whole, the agreement between the measured and calcd. values is improved by $\sim 18\%$ as compared to the calcd. values of W. S. Benedict and L. D. Kaplan (1964) instead of 14% for the previous calcns. based only on the dipole-dipole intermol. interaction. The influence of the quadrupole moment is larger for doublet-lines than for other lines. Finally, the Anderson-Tsao-Curnutte method, taking into account the 4 intermol. interactions mentioned above, leads to relative differences between obsd. and calcd. values $< 20\%$, for 72% of the 166 measured lines.

H₂O

1981

neorem
pacrem
ochotoro

и fossyls
cosmo. etuui

/96: 41199x Ab initio valence bond calculations of the total energy and some molecular properties of the water molecule in the ground state and some excited states. Menger, Gove Erol (Ohio Univ., Athens, OH USA). 1981. 158 pp. (Eng). Avail. Univ. Microfilms Int., Order No. 8126061. From Diss. Abstr. Int. B 1981, 42(6), 2392-3.

c.A. 1982, 96, n⁶.

H_2O

1981

Blulder F., et al.

Mol. Phys., 1981, 42,
N/3, 629-653.

(Kb. weex.
paerium).

(Cdr. H_2 ; --^{II}).

H₂O

Отмечено 11540

1981

18 Б44. Аналитические потенциалы для трехатомных молекул. VIII. Двулистная поверхность для нижних состояний ${}^1A'$ молекулы H₂O. Muggell J. N., Catter S., Mills I. M., Guest M. F. Analytical potentials for triatomic molecules. VIII. A two-valued surface for the lowest ${}^1A'$ states of H₂O. «Mol. Phys.», 1981, 42, № 3, 605—627 (англ.)

Методика построения потенциальных функций (ПФ) для небольших многоатомных молекул, предложенная в серии недавних работ («Molec. Phys.», 1980, 41, 567; 1975, 29, 1387), использована для получения двулистной потенциальной поверхности (ПП) молекулы H₂O в ее основном состоянии ${}^1A'$ (симметрия C_{2v}). ПП состояния ${}^1A'$ описывается с помощью матрицы V размерностью $—2 \times 2$, диагональные элементы к-рой представляют ПФ, описывающие диабатич. поверхности для двух возможных каналов распада на $H_2(a^3\Sigma_u^+) + O({}^3P_u)$ и $H_2(x^1\Sigma_g^+) + O({}^1D_g)$, а недиагональный элемент моделируется функцией, стремящейся к нулю, для

подтвержд.
пр-ческ

№ 1981 N 18

диссоциированных конфигураций типа H_2+O . ПФ подгонялись по результатам расчетов ~ 150 точек ПП для состояний ${}^1\Sigma_g^+$, ${}^1\Pi_u$ ($\text{HOH}, D_{\infty h}$), ${}^1\Sigma^+$, ${}^1\Pi$ ($\text{HNO}, C_{\infty v}$) $1,2,3,4 {}^1A'(C_2)$ и $1,2 {}^1A'(C_s)$, выполненных по методу конфигурац. взаимодействия, с учетом одно- и дважды возбужденных конфигураций, полученных из многоконфигурац. исходной функции. В расчете ССП использован базис Данинга с включением диффузных s - и p -АО. Полученные аналитич. ПФ описывают рассчитанные области ПП со среднеквадратич. погрешности $\sim 0,14$ эВ и имеют правильное физ. поведение во всей области. При замене неэмпирич. двухатомных потенциалов на полуэмпирич. с эксперим. энергиями диссоциации двухатомных фрагментов, погрешность для энергии диссоциации H_2O по сравнению с эксперим. уменьшается до $\sim 0,25$ ЭВ.

В. Г. Закжевский

стък
асси

Одесса 11540 1981

H_2O

~~коэф. исх.
расчет
компенз.
поверхн.~~

10 Д56. Аналитические потенциалы для трехатомных молекул. VIII. Двузначная поверхность для наименьших состояний $^1A'$ H_2O . Analytical potentials for triatomic molecules. VIII. A two-valued surface for the lowest $^1A'$ states of H_2O . Murrell J. N., Carter S., Mills I. M., Guest M. F. «Mol. Phys.», 1981, 42, № 3, 605—627 (англ.)

Методом конфигурационного взаимодействия при использовании двухэкспонентного базиса из сгруппированных гауссовых ф-ций с включением ридберговых ф-ций проведены неэмпирич. расчеты потенц. поверхности состояний X^1A' и B^1A' молекулы воды. Расчеты выполнены для 150 различных значений межъядерных расстояний, отвечающих конфигурациям симметрии $D_{\infty h}$, $C_{\infty v}$, C_{2v} , C_s . Результаты расчетов аппроксимированы двузначной аналитической потенц. ф-цией с конич. пересечением. На основе построенной поверхности потенц. энергии проведено обсуждение реакции взаимодействия $O(^1D)$ с $H_2(^1\Sigma_g^+)$.

E. A. Ж.

ф. 10. 1981

ommited 11540 1981

H₂O

Kb. met.
facets
nemeses.
nobly spp.

195: 30723s Analytical potentials for triatomic molecules. VIII. A two-valued surface for the lowest $^1A'$ states of water. Murrell, J. N.; Carter, S.; Mills, I. M.; Guest, M. F. (Sch. Mol. Sci., Univ. Sussex, Brighton, Engl. BN1 9QJ). *Mol. Phys.* 1981, 42(3), 605-27 (Eng). Ab initio calcns. were performed at ~ 150 points on the \tilde{X}^1A' and \tilde{B}^1A' potential energy surfaces of H₂O for structures with $D_{\text{-h}}$, $C_{\text{-v}}$, C_{2v} , and C_s symmetries. MOs were constructed from a double zeta plus Rydberg basis and correlation was introduced by single and double excitations from multiconfiguration states which gave the correct dissocn. behavior. A 2-valued anal. potential function was constructed to fit the ab initio results. The adiabatic surface exhibits the correct Σ/Π conical intersections for linear configurations, and singlet/triplet intersections of the O + H₂ dissocn. fragments. Agreement with expt. was improved by using empirical diat. potential curves in place of those derived from ab initio calcns.



C. A. 1981. 95. N 4

H₂O

Lommel 11541 | 1981.

Mulder F., et al.

Kb. max.
paarig

Mol. Phys., 1981, 42
(3), 629-53

H₂D

1981

7 Д77. Кластерное разложение волновой функции. Расчет электронной корреляции в синглетных и триплетных возбужденных состояниях, ионных состояниях и состояниях с дополнительным электроном методами симметризованных кластеров и СК—КВ. Cluster expansion of the wave function. Electron correlations in singlet and triplet excited states, ionized states, and electron attached states by SAC and SAC—CI theories. Nakatsuji Hiroshi, Nigao Kimihiko. «Int. J. Quantum Chem.», 1981, 20, № 6, 1301—1313 (англ.)

Описана вычислительная схема методов симметризованных кластеров (СК) (для расчета электронной корреляции в основном состоянии) и СК—КВ (для расчета возбужденных состояний). В методе СК учитываются одно- и двухкратные возбуждения по отношению к харти-фоковской волн. ф-ции, а также квадрупольные (как произведения парных) возбуждения. Приведена сводка ф-л для расчета одноэлектронных свойств с ис-

*расчет
электрон-
корреляции
в сингл.
и триплет-
в возбужд. со-
стояниях*

Ф. 1982, 18, № 7.

пользованием матриц плотностей и переходной матрицы плотности. В качестве примеров приведены результаты расчетов ряда свойств (в том числе энергий возбужденных состояний, сил осцилляторов переходов, потенциалов ионизации и энергий сродства к электрону, дипольных и вторых моментов) молекулы воды в основном и возбужденных состояниях. В. И. Барановский



H₂O

Сочи 1981

1981

5 Б337. Спектры поглощения в длиноволновой ин-

**фракрасной области $H_2^{16}O$, $H_2^{17}O$ и $H_2^{18}O$. Partrid-
ge R. H. Far-infrared absorption spectra of $H_2^{16}O$, $H_2^{17}O$,
and $H_2^{18}O$. «J. Mol. Spectrosc.», 1981, 87, № 2, 429—437
(англ.)**

Измерены спектры высокого разрешения (до $0,015 \text{ см}^{-1}$) паров $H_2^{16}O$ (I), $H_2^{17}O$ (II) и $H_2^{18}O$ (III) в области $10—47 \text{ см}^{-1}$ ($p=1,1—10 \text{ Торр}$, $l=5—13 \text{ м}$). Выполнено отнесение вращательных линий на основании известных таблиц вращательных энергий; частоты линий в состояниях (000) и (010) для I и (000) для II и III, измеренные с точностью $0,0006 \text{ см}^{-1}$ (станд. отклонение), сравнены с данными пред. измерений. В случае II и III впервые идентифицированы переходы $J_{00} \leftarrow J_{01}$ (соответствующие $21,759$ и $21,588 \text{ см}^{-1}$) и $2_{11} \leftarrow 2_{02}$ ($28,531$ и $28,400 \text{ см}^{-1}$) в состоянии (010).

Б. В. Р.

дл. II, D_i,

X. 1982, 19, N5.

H₂O

Октябрь 1981

2 Д613. Спектры длинноволнового ИК-поглощения H_2^{16}O , H_2^{17}O и H_2^{18}O . Far-infrared absorption spectra of H_2^{16}O , H_2^{17}O , and H_2^{18}O . Раггридж Р. Н. «J. Mol. Spectrosc.», 1981, 87, № 2, 429—437 (англ.)

С помощью интерферометра исследованы спектры длинноволни. ИК-поглощения в области $10\text{--}47 \text{ см}^{-1}$ паров воды при давлениях 1—16 мм рт. ст. Исследованы образцы, содержащие изотопы ^{16}O , ^{17}O , ^{18}O , а также монодейтерированные образцы всех трех изотопов кислорода. Измерения проведены в кювете с длиной оптического пути 1—18 м, разрешение при регистрации спектров составляло $0,015 \text{ см}^{-1}$. Проведена интерпретация наблюдаемых линий вращательного спектра молекул H_2O . Установлено, что часть структуры наблюдаемого спектра обусловлена вращательными переходами в возбужденном колебательном состоянии (010). Часть вращательных линий в спектре воды наблюдалась впервые. Приведены таблицы и спектры.

М.Л., спектр

Октябрь 1982, 18, № 2.

$H_2^{16}O$

OMMELCO

1981

119 Gf

$H_2^{17}O$

$H_2^{18}O$

95: 32950n Far-infrared absorption spectra of water (oxygen-16), water (oxygen-17), and water (oxygen-18). Partridge, R. H. (Div. Electr. Sci., Natl. Phys. Lab., Teddington/Middx., Engl. TW11 0LW). *J. Mol. Spectrosc.* 1981, 87(2), 429-37 (Eng). The far-IR absorption spectra of $H_2^{16}O$, $H_2^{17}O$, and $H_2^{18}O$ were obsd. between 10 and 47 cm^{-1} at resolns. up to 0.015 cm^{-1} and path lengths up to 13 m. A no. of weak absorption lines were directly obsd. for the 1st time, including some from all 3 species in the (010) vibrational state. Line positions were measured to a std. deviation of 0.0006 cm^{-1} .

U.K. CCLTP

nonrecycled

C.A. 1981. 98 NY

DH₂

1981.

Pandey R.P., et al.

Indian J. Chem., 1981,

part II, A 20, N6, 592 - 593.

(see LiH₂; III)

H_2O

1981

97: 44699s Program for calculating anharmonic vibrations of polyatomic molecules. Pavlyuchko, A. I.; Gribov, L. A. (Inst. Geokhim. Anal. Khim. im. Vernadskogo, Moscow, USSR). Deposited Doc. 1981, VINITI 2495-81, 200 pp. (Russ). Avail. VINITI. A complex of 14 computer programs is presented for calcn. of anharmonic vibration of mols. As an example, the calcn. of anharmonic vibrations of H_2O is presented.

анармон.
колебаний,

программа
расчета

C.A. 1982, 97, w6

M_2O

1981

Perevozchikov V. Y.
et al.

Kb, неex.
pacrèù
 $M(\text{gun. mol})$

Zh. Prikl. Spektrosk.,
1981, 34 (4), 743-744.

(cav. ZIH; II).

H₂O

1981

95: 177972f Doppler-limited spectrum of high-temperature water vapor in the 3000 to 4000 cm⁻¹ region. Pine, Alan S. (Lincoln Lab., Massachusetts Inst. Technol., Lexington, MA USA). Report 1981, ESD-TR-80-243; Order No. AD-A096 718, 85 pp. (Eng). Avail. NTIS. From Gov. Rep. Announce. Index (U. S.) 1981, 81(15), 3180. The absorption spectrum of water vapor was recorded at very high temps. (~ 1200 K) in the 3000 to 4000 cm⁻¹ region with Doppler-limited resoln. using a tunable difference-frequency laser spectrometer. This region encompasses the strong OH stretching fundamentals and the bending overtone. The higher rotational and vibrational energy levels obstd. here are expected to lead to extended theor. models of H₂O which are necessary to predict and analyze spectra from high temp. combustion processes.

CHEM&P
NOV 10 1981.

C. A. 1981, 95, v20

H₂O

1981

Pople J. A., et al.

Int. J. Quantum. Chem.,

1981, Quantum. Chem.

Symp. NIS, 269-279.



(cav. NNO, III)

H₂O

Lommel 11521
Ottawa 11647

1981.

Powles J. C.

справедлив
максим
в научной
форме.

Mol. Phys., 1981,
42 (4), 757 - 65.

H₂O

1981

З Д445. Ab initio-изучение методом ССП — КИ изгибающего движения молекулы воды: модели жесткого, полужесткого и нежесткого изгиба для гамильтониана. Ab initio SCF—Cl studies on the large amplitude bending motion of the water molecule. Rigid, semirigid, and nonrigid bender models for the Hamiltonian. Ramachandra Rao Ch. V. S. «J. Mol. Spectrosc.», 1981, 89, № 1, 197—213 (англ.)

Методом самосогласованного поля (ССП) с учетом конфигурационного взаимодействия проведены изучения деформационного колебания молекулы воды. Использована аппроксимация значений, вычисленных ab initio, трехпараметрическим двухъямым потенциалом, состоящим из квадратичного и лорентцового членов. Показано, что значения вычисленных частот наиболее близки к наблюдаемым для гамильтониана, соответствующего модели полужесткого изгиба. С использованием этого гамильтониана вычисленное ab initio значение ча-

*Di, расчет,
сл. 1.*

cf. 1982, 18, N 3.

стоты изгиба v_2 отличается от экспериментального (1595 см^{-1}) на 30 см^{-1} и высота барьера при этом составляет $12\ 229 \text{ см}^{-1}$. Полученные результаты указывают на то, что точность вычисленных силовых констант и частот весьма критична к размеру базисного набора, а также к числу и расположению исходных точек, не-пользуемых для нахождения силового поля. Библ. 34.

Б. Д. Ф.



H₂O

1981

4 Б100. Неэмпирическое изучение методом ССП-КВ деформационного движения большой амплитуды в молекуле воды: жесткая, полужесткая и нежесткая деформационные модели гамильтониана. Ramachandra Rao Ch. V. S. Ab initio SCF-CI studies on the large amplitude bending motion of the water molecule: rigid, semirigid, and nonrigid bender models for the Hamiltonian. «J. Mol. Spectrosc.», 1981, 89, № 1, 197—213 (англ.)

Методом ССП с послед. учетом конфигурац. взаимодействия решено электронное ур-ние для молекулы воды при различных валентных углах γ (НОН) от $\gamma=55^\circ$ до $\gamma=180^\circ$ при фиксированном расстоянии r^0 (O—H) = 0,957 Å. Использован двухэкспонентный базис из сгруппированных гауссовых ф-ций с включением поляризац. ф-ций. С полученным потенциалом решена колебательно-вращательная задача в рамках жесткой деформац. модели («J. Mol. Spectrosc.», 1972, 41, 310—332). Аналогичная серия электронных расчетов проведена при различных валентных углах с оптимизацией расстояний

X. 1982, 19; № 4

О—Н; полученный Пт использован для нахождения колебательно-вращательных энергий в рамках полужесткой деформационно-вращательной модели («I. Mol. spectrosc.», 1977, 67, 374—385). Показано, что переход к полужесткой модели позволяет существенно улучшить согласие с экспериментом. Найденная деформац. частота v_2 (1595 см^{-1}) отличается от эксперим. на $\sim 30 \text{ см}^{-1}$. Для сравнения решена также колебательно-вращательная задача для нежесткой модели гамильтониана с квартичным силовым полем, полученным ранее («Theor. Chim. Acta», 1978, 47, 233—248). Б. И. Жилинский

ать
и с

1981

H₂O

ab initio
pacem

95: 103740g Ab initio SCF-CI studies on the large amplitude bending motion of the water molecule: rigid, semirigid, and nonrigid bender models for the hamiltonian. Rao, C. V. S. Ramachandra (Dep. Chem., Carleton Univ., Ottawa, ON Can. K1S 5B6). *J. Mol. Spectrosc.* 1981, 89(1), 197-213 (Eng). SCF and CI studies were performed on the bending mode of the H₂O mol. using a double zeta plus polarization basis set. The ab initio points are fitted to a 3-parameter double min. potential consisting of a quadratic plus Lorentzian terms. The vibration-rotation energies are then evaluated using the large amplitude Hamiltonian developed by P. R. Bunker et al., (1979) at various levels of approxns. The calcd. frequencies improve significantly as one proceeds from approx. to rigid bender [P. R. Bunker and J. M. R. Stone, (1972)] to semirigid bender [P. R. Bunker and P. M. Landsberg, (1977)] Hamiltonian. Rotation bending energy levels are calcd. for $v_2 \leq 3$ and $J \leq 10$ on the basis of a nonrigid bender Hamiltonian of A. R. Hoy and P. R. Bunker (1979), using the ab initio quadratic force field of P. Henning, W. P. Kraemer, G. H. F. Diercksen, and G. Strey, (1978). These results show that the accuracy of calcd. force consts. and frequencies is critically dependent not only on the size of the basis set but also on the no. and spacing of the ab initio points used to derive the force field.

C.A. 1981, 95, 112.

1981

11 Б24. Аналитическая аппроксимация точной не-
эмпирической потенциальной поверхности H_2O для со-
стояния ${}^1\text{A}_1$. Redmon Michael J., Schatz Georg-
e C. An analytical fit to an accurate ab initio (${}^1\text{A}_1$)
potential surface of H_2O . «Chem. Phys.», 1981, 54, № 3,
365—374 (англ.)

Проведена аналитич. аппроксимация по методу Мар-
релла Пв потенциальной энергии основного состояния
 ${}^1\text{A}_1$ молекулы H_2O . Для описания участка Пв вблизи
положения равновесия использованы лит. данные по
силовому полю (вплоть до квартичных постоянных), рас-
считанные с помощью многочастичной теории возмуще-
ний. Введены усовершенствования в исходную процедуру
подбора параметров полиномов, входящих в трех-
частичную энергию взаимодействия. По построению ана-
литич. ф-ции потенциальной поверхности правильно опи-

H_2O 10856
исп. как
процесс
исслед.
поверхн.

2. 1981 № 11

сывает диссоциац. каналы $O(^1D) + H_2$ и $OH(^2\Pi) + H$.
Кроме силовых постоянных в положении равновесия
полученная ф-ция хорошо воспроизводит св-ва седловой
точки, соотв-щей линейной конфигурации HON . Про-
ведено детальное сравнение с др. способами аналитич.
аппроксимации потенциальной Пв H_2O , включая расче-
ты методом двухатомных фрагментов в молекулах и
указаны преимущества данного подхода. Отмечено на-
личие колич. погрешностей при описании Пв в канале
 $O(^1D) + H_2$.

А. В. Немухин

Ommucu 10896 1981

H₂O

✓ 94: 71883s An analytical fit to an accurate ab initio (¹A₁) potential surface of water. (Redmon, Michael J.; Schatz, George C. (Chem. Phys. Group, Battelle Columbus Lab., Columbus, OH 43201 USA). *Chem. Phys.* 1981, 54(3), 365-74 (Eng). The accurate ab initio MBPT (many-body perturbation theory) quartic force field of R. J. Bartlett, et al., (1979) is fitted to an anal. function using a method developed by Sorbie and Murrell (SM) (1975). An anal. of this surface indicates that it described most properties of the H₂O mol. very accurately, including an exact fit to the MBPT force field, and very close to the correct energy difference between linear and equil. H₂O. The surface also reproduces the correct diat. potentials in all

KB. uick
kaeet

C.A-1981.94.120

dissociative regions, but some aspects of it in the near asymptotic ($O(^1D)$) + H_2 region are not quant. described. For example, the potential seems to be too attractive at long range for $O + H_2$ encounters, although it does have the correct min. energy path geometry and correctly exhibits no barrier to O atom insertion. Comparisons of this surface with one previously developed by SM indicates generally good agreement between the 2, esp. after some of the SM parameters were cor., using a numerical differentiation algorithm to evaluate them. A surface developed by Schinke and Lester (SL) is more realistic in the $O(^1D)$ + H_2 regions, but less quant. in its description of the H_2O mol. Overall, the present fit appears to be both realistic and quant. for energy displacements up to 3-4 eV from H_2O equil., and should therefore be used for spectroscopic and collision dynamics studies involving H_2O .

H_2O

1981

Rein R., et al.

Intermol. Forces. Proc.

Suppl.

14th Symp. Quantum

quasipotays.

Chem. and Biochem.,

Jerusalem, Apr. 13-16,

1981. Dordrecht e.a., 1981

49-63. (see, NH_3 ; III)

H₂O

1981

95: 178137z Superfluorescence from flash-pumped water vapor. Robinson, Dean W.; Lawandy, Nabil M. (Dep. Chem., Johns Hopkins Univ., Baltimore, MD 21218 USA). *Appl. Phys., [Part] B* 1981, B 26(1), 61-6 (Eng). The observation is reported of intense amplified spontaneous emission on 15 far-IR lines from flashed pumped H₂O vapor in the 0.010-0.080 torr pressure range. A mechanism based on direct optical pumping, and collisional redistribution between resonance perturbed levels is presented.

gas - UK 081
superfluorescence -
pecs.

C.A. 1981, 95, N20

H₂O

1981

Sara Michel.

Computational Theor. Org.

"n.g.,
u.n."

Chem. Proc. NATO Adv. Study
Inst., Mlleritor, June 29-July 13,
1980. Dordrecht e.a., 1981, 183
- 196.



(See. OH; III)

H_2O

1981

9 Д116. Точное решение в рамках двухэкспонентной базисной системы электронного уравнения Шрёдингера для воды. Exact solution (within a double-zeta basis set) of the Schrödinger electronic equation for water. Saxe Paul, Schaefer Непгу F., III, Handy Nicholas C. «Chem. Phys. Lett.», 1981, 79, № 2, 202—204 (англ.)

Для основного электронного состояния 1A_1 молекулы воды проведен расчет полной энергии методом конфигурац. взаимодействия с учетом всех конфигураций (256 473 ш), возможных в двухэкспонентном базисе гауссовых ф-ций Хузинаги—Даннинга. Проведен анализ вкладов в корреляц. энергию H_2O от различ-

ных типов конфигураций, а также выполнено сравнение полученных корреляционных поправок с поправками, найденными в результате расчетов этой молекулы методом многочастичной теории возмущений. А. Д.

φ 1981 № 9

H₂O

1981

(KAPC)

196: 112596n Investigation of the CARS spectrum of water vapor. Shirley, J. A.; Hall, R. J.; Eckbreth, A. C. (United Technol. Res. Cent., Hartford, CT 06108 USA). *Proc. Int. Conf. Lasers 1980* (Pub. 1981), 214-19 (Eng). The dependence of the coherent anti-Stokes Raman (CARS) spectrum of water vapor on temp. was measured and compared with CARS spectral model calcns. to permit diagnostics of this important combustion product. Measurements were made in a CH₄-air flame at 1700 K and in a heated cell, maintained at atm. pressure and temps. between 310 and 710 K. The agreement between measured and calcd. spectra was very good. The importance of assumed Raman linewidth is crit. to the calcn. of spectral features near the band head of measured spectra.

C. A. 1982, 96, N14.

H₂O

1981

96: 26650u Oscillator strengths for lines of the F(0, 0, 0)-X(0, 0, 0) band of water at 111.5 nanometers and the abundance of water in diffuse interstellar clouds. Smith, Peter L.; Yoshino, K.; Griesinger, H. E.; Black, J. H. (Harvard-Smithsonian Cent. Astrophys., Cambridge, MA 02138 USA). *Astrophys. J.* 1981, 250(1, Pt. 1), 166-74 (Eng). Abs. oscillator strengths (*f*-values) for rotational lines of the F(0, 0, 0)-X(0, 0, 0) band of H₂O at 111.5 nm were measured with an uncertainty of $\pm 40\%$ using quant. photog. techniques. The *f*-value for the 1₁₁-0₀₀ line, the one most likely to be seen in absorption in interstellar clouds, is $(3.0 \pm 1.2) \times 10^{-2}$. This value is combined with a measured upper limit for absorption by this line in the ζ Oph cloud to show that the column d. of H₂O in the 0₀₀ level is $< 5.3 \times 10^{12} \text{ cm}^{-2}$. This upper limit is larger than the predictions of gas-phase, chem. models of this cloud. Definite detection of H₂O in diffuse clouds at the level of this upper limit would be in conflict with models of mol. formation in shock-heated gas. The data anal. produced addnl. results: the abs. scale of the oscillator strengths for lines of the C(0, 0, 0)-X(0, 0, 0) band of H₂O at 124 nm is reduced by 10%; the integrated absorption coeffs. for F-X and C-X bands were compared to calcd. and measured values and agree within the exptl. uncertainties.

fmn,

C.A. 1982, 96, n4

H₂O

1981

18 Б43. Расчеты молекул с открытыми оболочками методом СЭП. IV. Эффекты электронной корреляции в ридберговых состояниях типа B_1 H₂O. Staemmler Volker, Jaquet Ralph, Junge Martin. CERA calculations on open-shell molecules. IV. Electron correlation effects in B_1 Rydberg states of H₂O. «J. Chem. Phys.», 1981, 74, № 2, 1285—1292 (англ.)

При эксперим. равновесной геометрии основного состояния рассчитаны энергии ридберговых состояний молекулы H₂O, возникающие при возбуждении электрона с орбитали 1b₁. Использован общепринятый базис сгруппированных двухэкспонентных гауссовых орбиталей с учетом поляризац. ф-ций, дополненный ридберговыми орбитальными. Сопоставлены результаты вычислений различного уровня точности: приближения замороженного остова, метода ССП, метода конфигурац. взаимодействия в базисе парных натуральных орбиталей и в приближении связанных электронных пар (СЭП), усовершенствованном на случай систем с открытыми оболочками. Сформулированы след. выводы. Эффекты электронной корреляции играют важную, но не решающую роль для низших членов ридберговой

*ридерг.
составлен.
равнов.
зарегистриру*

Х 1981/18

серии. Понижение энергии за счет аккуратного учета корреляц. вкладов не превышает 0,015 ат. ед. Орбиталь $4a_1$, к-рой часто приписывают валентный характер типа $3s$, на самом деле вносит вклады в целый ряд орбиталей серии ns . Результаты расчетов хорошо согла-
суются с последними эксперим. измерениями. Отличия
отмечены только при интерпретации серии E . Взаимо-
действие ридбергова электрона с квадрупольным мо-
ментом остова приводит к отриц. квантовому дефекту
орбиталей типа $3d_{a_1}$. Метод ССП предсказывает боль-
шие значения дипольного момента для ридберговых
состояний H_2O .

А. В. Немухин

H₂O

1981

9 Д117. Расчеты методом СЭП молекул с открытыми оболочками. IV. Эффекты электронной корреляции в ридберговых состояниях B_1 молекулы H_2O . CEP A calculations on open-shell molecules. IV. Electron correlation effects in B_1 Rydberg states of H_2O . Staemmler Volker, Jaquet Ralph, Jungen Martin. «J. Chem. Phys.», 1981, 74, № 2, 1285—1292 (англ.)

Энергии вертикальных переходов для 10 возбужденных состояний H_2O , отвечающих ридберговым сериям с возбуждениями $1b_1 \rightarrow a_1$, рассчитаны в приближении замороженного электронного остова, методом ССП, методом конфигурац. взаимодействия на псевдонаатуральных орбиталах и методом связанных электронных пар (СЭП). Получены коореляционные вклады в энергии связи, квантовые дефекты и величины синглет-триплетных расщеплений для всех рассчитанных состояний. Оценены также дипольные моменты ридберговых состояний H_2O в приближении ССП. На основе полученных данных проведено отнесение некоторых уровней в ридберговых сериях. А. Дементьев

*исследование
молекул*

(3)

ф. 1981 № 9

H_2O

оттиск 12376 1981

1 Д543. К вопросу об обертон-комбинированных спектрах молекул типа XY₂. On the overtone-combination spectra of XY₂ molecules. Stannard Paul R., Elert Mark L., Gelbart William M. «J. Chem. Phys.», 1981, 74, № 11, 6050—6062 (англ.)

Di, сл. 1. л.

Теоретически рассмотрено влияние механич. и оптич. ангармоничности на интенсивности и частоты колебательных полос в ИК-спектрах поглощения молекул типа YXY. Описана процедура перехода от естественных к нормальным колебательным координатам, обсуждены возможные причины взаимодействия колебаний в рассматриваемых молекулах. Приведенные соотношения применены для расчета колебательного спектра молекул воды. При расчете использованы литературные данные о силовом поле и ф-ции дипольного момента H₂O. Рассчитанные частоты полос основного тона, обертонов и полос ряда составных колебаний приведены в таблице. Теоретич. результаты находятся в хорошем согласии с эксперим. данными. Рассчитанные интенсив-

ср. 1982, 18, N1.

ности полос качественно соответствуют наблюдаемым интенсивностям. Из анализа результатов расчета сделан вывод о том, что наблюдаемые в спектре H_2O полосы составных частот и обертонаов главным образом связаны с наличием оптич. ангармоничности. Библ. 24.

Н. Ф.

(
сос
чи

HQH

COMMICK 12346 1981

4.1K. checkup

μ ,

normal.

stretches

$V(r, \theta)$

C.A. 1981. 95 N4

95: 32880q On the overtone-combination spectra of XY_2 molecules. Stannard, Paul R.; Elert, Mark L.; Gelbart, William M. (Dep. Chem., Univ. California, Los Angeles, CA 90024 USA). *J. Chem. Phys.* 1981, 74(11), 6050-62 (Eng). It is well known that overtone and combination features in the IR spectra of YXY mols. arise from several different effects: (1) anharmonicity in the individual stretch and bend motions; (2) nonlinear dependence of the electronic-ground-state dipole moment (μ) on the stretch and bend displacements (r , \bar{r} , and θ); and (3) coupling of stretches and bend via nonseparable terms in the many-dimensional potential energy (V). In order to unambiguously sort out these contributions it is necessary to know the r , \bar{r} , and θ dependence of both μ and V from which follow the vibrational eigenstates, line positions, and oscillator strengths. General criteria are discussed for separability of the nuclear potential energy with respect to stretch and bend motions. A preference for "local" vs. "normal" coordinates

derives from the at. mass differences and bonding types. The IR spectrum of the HOH mol. is treated in detail, since a great deal of information is already available concerning its $V(r, \theta)$ and $\mu(r, \theta)$. The vibrational eigenstates are used to study the breakdown of separability with increasing energy. The relative intensities of neighboring overtone and combination states are compared and accounted for in terms of "elec." (μ) and vibrational (V) anharmonicity.

H₂O

1981

Surján P.R., et al.

H₂O

Theor. chim. acta, 1981,
59, N6, 603- 607.

(cet. CH₄ ; III)

H_2O 1981

H_2O^+

Tabche - Fouhaile A.

Thèse doct. sci. phys.

Univ. Paris, Sud, 1981,

1981, 210 p., ill.

exemp,
éenne
pomme-
nezague

(c.c. O_2^+ ; II^-)

1981

 H_2O H_2O^{2+} H_2O^{4+} Жертва
смерти

11 Д109. Исследование методом ППДП/2 энергий связи систем AH_2 . A CNDO/2 study of binding energies of AH_2 systems. Takahata Y., Viana L. M. «Ap. Acad. brasil. ciênc.», 1981, 53, № 1, 91—99 (англ.)

Методом ССП МО ЛКАО в валентном приближении ППДП/2 рассчитаны энергии связи (E) для H_2O , H_2O^{2+} , H_2O^{4+} , NH_2^- , NH_2^+ , NH_2^{3+} , CH_2^{2-} , CH_2 , CH_2^+ , SH_2 (I), SH_2^{2+} , SH_2^{4+} . Использованы эксперим. длины связей и валентные углы 105° . Рассчитанные E сильно занижены сравнительно с имеющимися эксперим. данными, однако хорошо линейно коррелируют с заселенностями перекрывания по Малликену для связей А—Н. Проанализированы вклады индивидуальных МО в связывание. Обнаружено, что для гидридов атомов 2-го периода наибольший вклад ($\approx 65\%$) вносит МО $2a_1$; для I этот вклад равен 46% , что, по-видимому, объясняется ростом вклада $3d$ -АО в

A

III

ф. 1981, 18, III.

(сес. H_2O ; III)

связывание. МО $1t_2$ вносит вклад в 30—40%, а МО $3a_1$ — менее 10%, т. е. является почти несвязывающей. $2p_y$ и $2s$ -АО вносят вклады в 30—40%, а $2p_z$ -АО — $\approx 25\%$. В случае I $3p_g$ - и $3p_z$ -АО вносят по 30—35%, $3s$ -АО — $\approx 20\%$, $3d$ -АО — $\approx 10\%$. В. Л. Лебедев.

H_2O

1981

Van Hemert M.C., et al.

Mol. Phys., 1981, 43,

N1, 229 - 250.

линейный.
вершины.

бензопиридин

K.P.

(есм. C_6H_4 ; III)

[Омск 13052]

1981

H₂O

сил.ночн.,
метадр
полиэтилен.

Воротков Е. О., Россия
B.B.,
Teor. и эксперим. хим.;
1981, 17, N5, 669-674.

H₂O

1981

9 Б204. Поведение локальной моды: модель осциллятора Морзе. Watson I. A., Непгу В. Р., Ross I. G. Local mode behavior: the Morse oscillator model. «Spectrochim. acta», 1981, A37, № 10, 857—865 (англ.)

Лебания валентных связей в молекулах H_2O , NH_3 и SO_2 (а также HDO и D_2O) рассмотрены с вычислительной точки зрения согласно модели, в к-рой осцилляторы связи, являющиеся осцилляторами Морзе, связаны только через, зависящий от масс атомов и угла связи член в операторе кинетич. энергии. Вычисление уровней энергии и интенсивностей по этой модели зависит от двух параметров потенциала Морзе. В. М. М.

∂_i , δ_i

+4

X, 1982, 19, N 3.

1981

H₂O

ЗД79. Свойство локальной формы колебаний. Модель осциллятора Морзе. Local mode behavior: the Morse oscillator model. Walson I. A., Непгу В. Р., Ross J. G. «Spectrochim. acta», 1981, A37, № 10, 857—865 (англ.)

Предложено физически корректное количеств. описание валентных колебаний в молекулах H₂O (HDO, D₂O), NH₃ и SO₂ на основе модели, в которой колебания каждой связи аппроксимируются двухпараметрич. осцилляторами Морзе. Взаимодействие между двумя осцилляторами обеспечивается членом в операторе кинетич. энергии, зависящем от массы центрального атома и угла между связями. Собств. значения колебательного гамильтониана находятся в членах базисных ф-ций, представленных в виде произведения собств. ф-ций двух осцилляторов Морзе. Результаты хорошо согласуются с деталями спектров обертонаов и поэтому обеспечивают резумное понимание значений констант ангармоничности, найденных традиционными методами, основанными на разложении потенц. энергии по степеням норм. координат или полной энергии по степеням v_1, v_3 .

расчет v_i



(тч)

HDO, D₂O, NH₃
SO₂

сб 1982, 18, N3

В. В. Россихин

OH_2

Lemire et al. 12131 | 1981.

Wilson S., et al.

free-radical
bozonyeq.
cozemoreeq
pacet
(E)

J. Phys. B: Atom.
and Mol. Phys.,
1981, 14 p 1709-17.

(ces. HF; III)

18 изомеров H₂O

1981

96: 189810k Solution of a mechanical anharmonic spectroscopic problem for nonlinear XYZ molecules. C_{2v} - and C-symmetry of the water molecule containing various hydrogen and oxygen isotopes. Yaroslavskaya, E. V.; Skotnikov, A. I.; Sverdlov, L. M. (USSR). *Deposited Doc.* 1981, VINITI 996-81, 23 pp. (Russ). Avail. VINITI. The direct and inverse mech. anharmonic spectroscopic problems are solved for nonlinear XYZ mols. using existing exptl. information regarding the vibrational-rotational spectra both for C_{2v} and for C_s symmetry of mols. contg. various isotopes (mol. wt. ≤ 20). An algorithm based on the vibrational-rotational interaction of H.H. Nielsen (1951) is used. Calcns. and expts. agree for 18 isotopes of H₂O.

анарон
лен. нокт.,

м.н

С. А. 1982, 96, N22

H₂O

1981

2 Д790. Электронная спектроскопия с пенниговской ионизацией и фотоэлектронная спектроскопия молекулярных кристаллов. Ч. 2. Аммиак и вода. Penning ionization electron spectroscopy and photo-electron spectroscopy of molecular solids. II. Ammonia and water. Yen-ch'a Andrew J., Kubota Nigoya-su, Fukuyama Tsutomu, Kondow Tamotsu, Kuchitsu Kozo. «J. Electron Spectrosc. and Relat. Phenom.», 1981, 23, № 4, 431—440 (англ.)

Получены электронные спектры при пенниговской ионизации (ЭСПИ) метастабильными атомами He* (2^3S), 2^1S и HeI-фотоэлектронные спектры (ФЭС) воды (I) и аммиака (II) на Cu-подложке при т-ре 100 К. Вертикальные потенциалы ионизации (ПИ) I и II равны (в эВ): ЭСПИ I — 11,3, 13,3, 17,6; ФЭС I — 11,0, 17,3; ЭСПМ — I — 10,0, 14,8; ФЭС II — 9,7, 14,6. Относит. интенсивности полос $3a_1$ и $1e$ в ЭСПИ и ФЭС сильно различаются. Относит. интенсивность полосы $3a_1$ в ЭСПИ и ФЭС для конденсированной I сильно

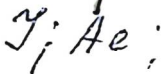
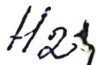
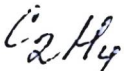
(+1) ~~⊗~~

φ. 1982, 18, № 2, NH₃

уменьшается по сравнению с газовой фазой. По мнению авторов, это свидетельствует об участии MO типа $3a_1$ в водородной связи. Библ. 29. Ч. 1 см. Electron J. «Spectrosc. Relat. Phenom.», 1981, 23, 417. Ю. В. Чижов

7—4
Ок.

отмечен 16.02.88 1981



(+2)

14 Б85. Применение многоконфигурационной многочастичной теории возмущений для расчета потенциалов ионизации, значений сродства к электрону и энергий возбуждения. Yamamoto Shigeyoshi, Saika A. Application of multiconfigurational many-body perturbation theory to the calculation of ionization potentials, electron affinities and excitation energies. «Chem. Phys. Lett.», 1981, 78, № 2, 316—322 (англ.)

Кратко рассмотрены основы формализма многоконфигурац. многочастичной теории возмущений (ММТВ) для уточнения описания многоэлектронных атомных и молек. систем в рамках приближения независимых частиц. Для иллюстрации с помощью ММТВ проведены модельные расчеты вертикальных потенциалов ионизации (ПИ), значений сродства к электрону (СЭ) и энергий возбуждения (ЕВ) нек-рых переходов для молекул H_2O , C_2H_4 и H_2 . Одноэлектронные волновые ф-ции определялись из неэмпирич. расчетов ССП в базисе из

22.1981.1/14

орбиталей гауссовского типа с использованием хартри-
фоковского потенциала и равновесных геометрич. пара-
метров молекул. В кач-ве вакуумного состояния ис-
следованных систем рассматривалось основное состояние
молекул с полностью заполненными оболочками. Расчет
величин ПИ и СЭ проводился в одномерном модельном
пространстве состояний с одной дыркой в 1-м случае и
с одной частицей во 2-м. При расчетах ЕВ рассматри-
валось модельное четырехмерное пространство (включая
спиновые переменные) состояний частично-дырочных
пар. Во всех случаях при нахождении корреляц. по-
правок учитывались члены разл. ММТВ вплоть до 3-го
порядка, а также вклады от нек-рых диаграмм более
высоких порядков. Полученные результаты сопоставле-
ны с лит., эксперим. и теор. данными расчетов др. мно-
готочечными методами.

О. А. Басченко

отмечена 11028

1981

H_2O

C_2H_4

H_2

$T; Ae; \epsilon_i$

(+2) \otimes

7 Д102. Применение многоконфигурационной многочастичной теории возмущений для расчета потенциалов ионизации, сродства к электрону и энергий возбуждения. Application of multiconfigurational many-body perturbation theory to the calculation of ionization-potentials, electron affinities and excitation energies. Yamamoto Shigeyoshi, Saika A: «Chem. Phys. Lett.», 1981, 78, № 2, 316—322 (англ.)

В рамках многоконфигурационной многочастичной теории возмущений с учетом корреляционных поправок до 3-го порядка и некоторых членов высших порядков рассчитаны потенциалы ионизации, сродство к электрону и энергии возбуждения для H_2O , C_2H_4 и H_2 .

Резюме

cp. 1981. N 7

H₂O

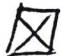
C₂H₄

H₂

•

(γ; Ae)

(72)



11028

1981

94: 145601x Application of multiconfigurational many-body perturbation theory to the calculation of ionization potentials, electron affinities and excitation energies. Yamamoto, Shigeyoshi; Saika, A. (Dep. Chem., Kyoto Univ., Kyoto, Japan 606). *Chem. Phys. Lett.* 1981, 78(2), 316-22 (Eng). Multiconfigurational many-body perturbation theory was used to calc. ionization potentials, electron affinities, and excitation energies. H₂O, C₂H₄, and H₂ were studied, with correlation corrections through third order and inclusive of certain higher-order terms. Results are compared with those by other many-body theor. methods.

Q.S. 1981.94d18

1981

Н₂O

11 Б66 Деп. Решение механической ангармонической спектроскопической задачи для нелинейных молекул. XVI. Изотопы молекулы воды симметрии C_{2v} и C_s . Ярославская Е. В., Скотников А. И., Свердлов Л. М. Редкол. «Ж. прикл. спектроскопии». Минск, 1981. 22 с., библиогр. 14 назв. (Рукопись деп. в ВИНИТИ 4 марта 1981 г., № 996-81 Деп.)

На ЭВМ типа ЕС с операц. системой на языке ФОРТРАН-IV реализован алгоритм решения обратной и прямой мех. ангармонич. спектроскопич. задач для нелинейных молекул XVZ, использующий эксперим. информацию по колебательно-вращательным спектрам для n изотопов молекулы ($n \leq 20$) симметрии C_{2v} и C_s . Алгоритм решения описан ранее (Скотников А. И., Свердлов Л. М., «Опт. и спектр.», 1976, 40, 68). Программа применена для решения указанных задач на примере 18 изотопов молекулы воды. Достигнуто хорошее согласие вычисленных и известных из эксперимента для восьми изотопов H₂O значений спектроскопич. величин. При решении обратной и прямой задач учитывались резонансы Ферми и Дарлинга — Денисона.

Автореферат

кб. мех.
расчет,
программа

Х 1981. НИ

H₂O

ОТМЧЕК 13506 1981

расчет
поверхности
потенциалов.

Энергии,

Si



Ф. 1982, 18, № 7.

7 Д206. Поверхности потенциальной энергии для простых химических реакций, полученные полуэмпирическим методом валентных схем. $^1A'$ -состояния H_2O и H_2F^+ . Semiempirical valence bond potential energy surfaces for simple chemical reactions: $^1A'$ states of H_2O and H_2F^+ . Zembekov A. A. «Mol. Phys.», 1981, 44, № 6, 1399—1417 (англ.)

На основе простого варианта метода валентных схем проводится расчет поверхностей потенц. энергии (ППЭ) нескольких низких $^1A'$ электронных состояний молекулярных систем H_2O и H_2F^+ . Метод основан на поиске электронных конфигураций, дающих основной вклад в энергию рассматриваемых состояний при различных молекулярных конфигурациях. При расчете используется ряд приближений, из которых основным является приближение атомов в молекуле Моффита, позволяющее в значительной степени исключить ошибки молекулярного расчета. вызванные неправильным расчетом

атомных энергий. Разложение матричных элементов гамильтониана по перестановкам обрывается на членах, пропорциональных четвертой степени интегралов перекрывания. Рассчитанные кривые потенц. энергии фрагментов OH, H₂, HF, HF⁺, а также энергии нижних состояний и общее поведение ППЭ H₂O и H₂F⁺ хорошо согласуются с известными экспериментальными и теоретич. данными. В терминах конфигурационного взаимодействия обсуждается поведение ППЭ этих систем, в частности, в области конич. пересечения для H₂O.

А. А. Зембеков

